



ФГБУ «Арктический и антарктический научно-исследовательский институт»

МЦД МЛ

Информационные материалы по мониторингу морского ледяного покрова Арктики и Южного Океана на основе данных ледового картирования и пассивного микроволнового зондирования SSMR-SSM/I-SSMIS-AMSR₂

23.11.2020 -01.12.2020

№ 47(481)

Санкт-Петербург 2020

тел. +7(812)337-3149, эл. почта: yms@aari.aq

Адрес в сети Интернет: <http://wdc.aari.ru/datasets/d0042/>

Содержание

Северное Полушарие	4
Рисунок 1а – Ледовая карта СЛО и повторяемость кромки за текущую неделю (цветовая окраска по общей сплоченности)	4
Рисунок 1б – Ледовая карта СЛО и повторяемость кромки за текущую неделю (цветовая окраска по преобладающему возрасту)	5
Рисунок 1в – Положение кромки льда и зон разреженных и сплоченных льдов СЛО за последний доступный срок на основе ледового анализа НЛЦ США	6
Рисунок 2а – Обзорная ледовая карта СЛО за текущую неделю и аналогичные периоды 2007-2019.7	7
Рисунок 2б – Поля распределения средневзвешенной толщины льда совместной модели морского льда – океана HYCOM/CICE Датского метеорологического института.....	8
Рисунок 2в – Поля распределения средней за 36-часовые промежутки температуры поверхности морского льда и океана Датского метеорологического института	9
Рисунок 2г – Поле дрейфа морского льда Арктики по расчетам МЦД МЛ ААНИИ, источник данных EUMETSAT OSISAF, AMSR-2.....	10
Рисунок 2д – Ежедневные оценки сезонного хода объема морского льда СЛО на основе расчетов средневзвешенной толщины льда совместной модели морского льда – океана HYCOM/CICE Датского метеорологического института.....	11
Рисунок 2е – Аномалии приземной температуры воздуха (2м) и осредненные вектора скорости ветра (10 м) (polarportal.dk).....	12
Таблица 1 – Динамика изменения значений ледовитости для акваторий Северной полярной области за текущую неделю по данным наблюдений SSMR-SSM/I-SSMIS	13
Таблица 2 – Медианные значения ледовитости для Северной полярной области и 3-х меридиональных секторов за текущие 30 и 7-дневные интервалы и её аномалии от 2011-2016 гг. и интервалов 2006-2017 гг. и 1978-2017 гг. по данным наблюдений SSMR-SSM/I-SSMIS	13
Таблица 3 – Экстремальные и средние значения ледовитости для Северной полярной области и 3 меридиональных секторов за текущий 7-дневный интервал по данным наблюдений SSMR-SSM/I-SSMIS, алгоритм NASATEAM.....	13
Рисунок 3а – Ежедневные оценки сезонного хода ледовитости для Северной Полярной Области и её трех меридиональных секторов за период с 26.10.1978 по текущий момент времени по годам ..	16
Рисунок 3б – Ежедневные оценки сезонных изменений ледовитости для Северной Полярной Области с 26.10.1978 по текущий момент времени	17
Рисунок 4 – Медианные распределения сплоченности льда за текущие 7 дневные промежутки (слева) и её разности относительно медианного распределения за те же промежутки за периоды 1979-2020 (центр) и 2009-2020 гг. (справа) на основе расчетов по данным SSMR-SSM/I-SSMIS, алгоритмы NASATEAM.....	18
Южный океан	19
Рисунок 5 а,б – Ледовая карта Южного Океана за последний доступный срок (окраска по общей сплоченности и преобладающему возрасту).....	19,20
Рисунок 5в – Положение кромки льда и зон разреженных и сплоченных льдов Южного Океана за последний доступный срок на основе ледового анализа НЛЦ США	21
Рисунок 5д – Анализ ААНИИ крупных айсбергов Южного океана	22
Таблица 4 – Параметры крупных айсбергов Южного океана на основе анализа ААНИИ	23
Рисунок 7а – Ежедневные оценки сезонного хода ледовитости Южного Океана и его трёх меридиональных секторов за период с 26.10.1978 по текущий момент времени по годам	24
Рисунок 7б – Ежедневные оценки сезонного хода ледовитости Южного Океана и его трёх меридиональных секторов за период с 26.10.1978 по текущий момент времени.	25
Рисунок 8 – Медианные распределения общей сплоченности льда за текущие 7 дневные промежутки (слева) и её разности относительно медианного распределения за тот же промежуток за периоды 1979-2020 (центр) и 2009-2020 гг. (справа) на основе расчетов по данным SSMR-SSM/I-SSMIS, алгоритм NASATEAM.....	26
Таблица 5 – Динамика изменения значений ледовитости для акваторий Южного океана за текущий 7-дневный интервал по данным наблюдений SSMR-SSM/I-SSMIS	27
Таблица 6 – Медианные значения ледовитости для Южного океана и 3 меридиональных секторов за текущие 30 и 7-дневные интервалы и её аномалии от 2011-2016 гг. и интервалов 2007-2017 гг. и 1978-2017 гг. по данным наблюдений SSMR-SSM/I-SSMIS, алгоритм NASATEAM	27

Таблица 7 – Экстремальные и средние значения ледовитости для Южного океана и 3 меридиональных секторов за текущий 7-дневный интервал по данным наблюдений SSMR-SSM/I-SSMIS, алгоритм NASATEAM.....	27
Земля в целом	
Рисунок 9 – Ежедневные сглаженные окном 365 суток значения ледовитости Арктики, Антарктики и Земли в целом с 26.10.1978 на основе SSMR-SSM/I-SSMIS	28
Рисунок 10 – Ежедневные сглаженные окном 365 суток значения приведенной ледовитости Арктики, Антарктики и Земли в целом с 26.10.1978 на основе SSMR-SSM/I-SSMIS	29
Рисунок 11 – Ежедневные сглаженные окном 365 суток значения общей сплоченности Арктики и Антарктики с 26.10.1978 на основе SSMR-SSM/I-SSMIS	30
Приложение 1 – Статистические значения ледовитостей по отдельным акваториям Северной Полярной Области и Южного океана	31
Таблица 8 – Средние, аномалии среднего и экстремальные значения ледовитостей для Северной полярной области и её отдельных акваторий за текущие 7-дневный (неделя) и 30-дневный промежутки времени по данным наблюдений SSMR-SSM/I-SSMIS, алгоритм NASATEAM за период 1978-2017 гг.....	31
Таблица 9 – Средние, аномалии среднего и экстремальные значения ледовитостей для Южного океана и его отдельных акваторий за текущие 7-дневный и 30-дневный промежутки времени по данным наблюдений SSMR-SSM/I-SSMIS, алгоритм NASATEAM за период 1978-2017	31
Таблица 10 – Динамика изменения значений ледовитости по сравнению с предыдущей неделей для морей Северной полярной области и Южного океана за текущий 7-дневный (неделя) промежуток времени по данным наблюдений SSMIS	35
Характеристика исходного материала и методика расчетов	35
Список источников	41

Северное Полушарие

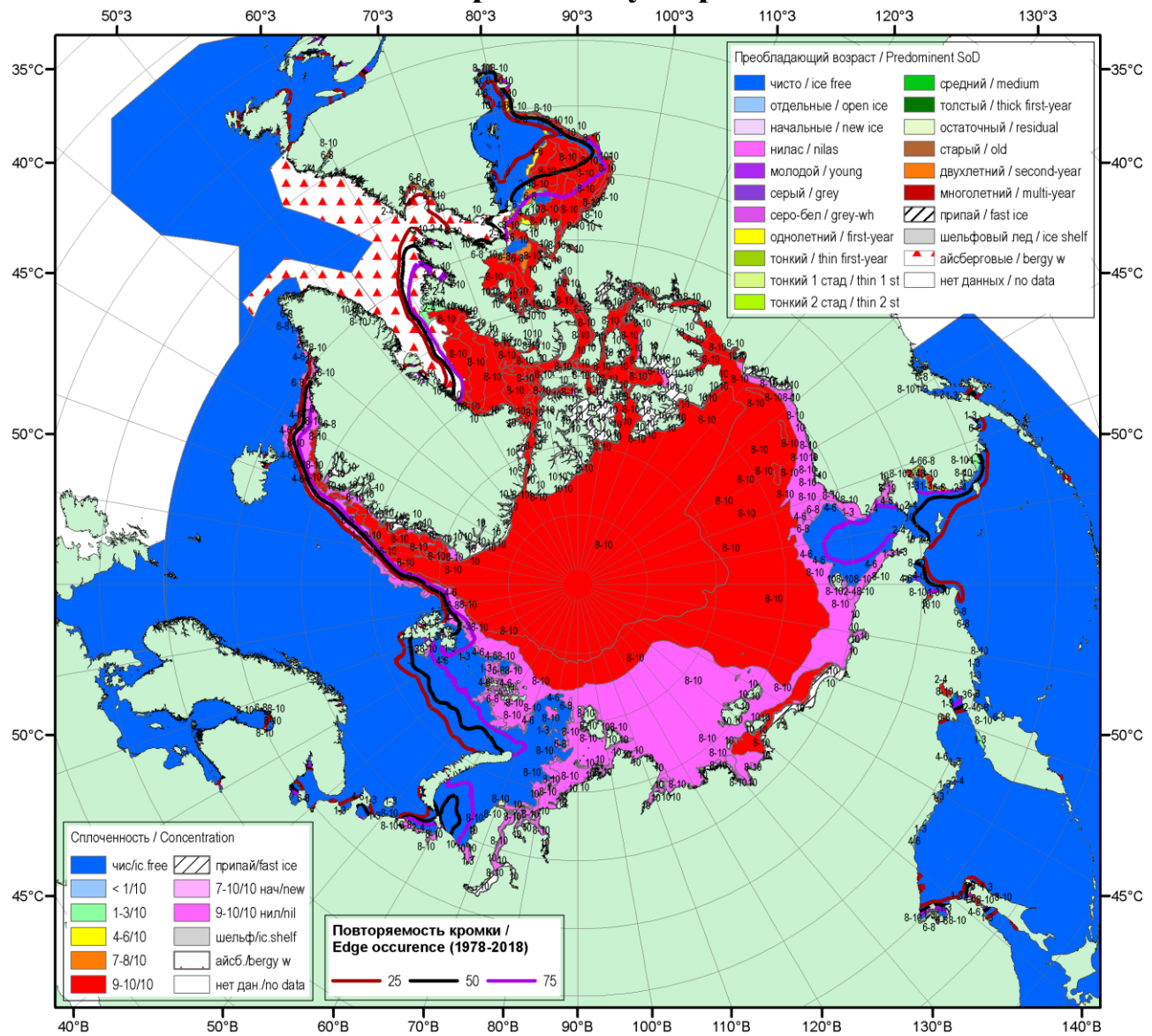


Рисунок 1а – Обзорная ледовая карта СЛО за 26.11.2020-01.12.2020 г. (цветовая раскраска по общей сплощенности) на основе ледового анализа ААНИИ (01.12), Национального ледового центра США (26.11) и повторяемость кромки за 26-30.11 за период 1979-2018 гг. по наблюдениям SSMR-SSM/I-SSMIS (алгоритм NASATEAM).

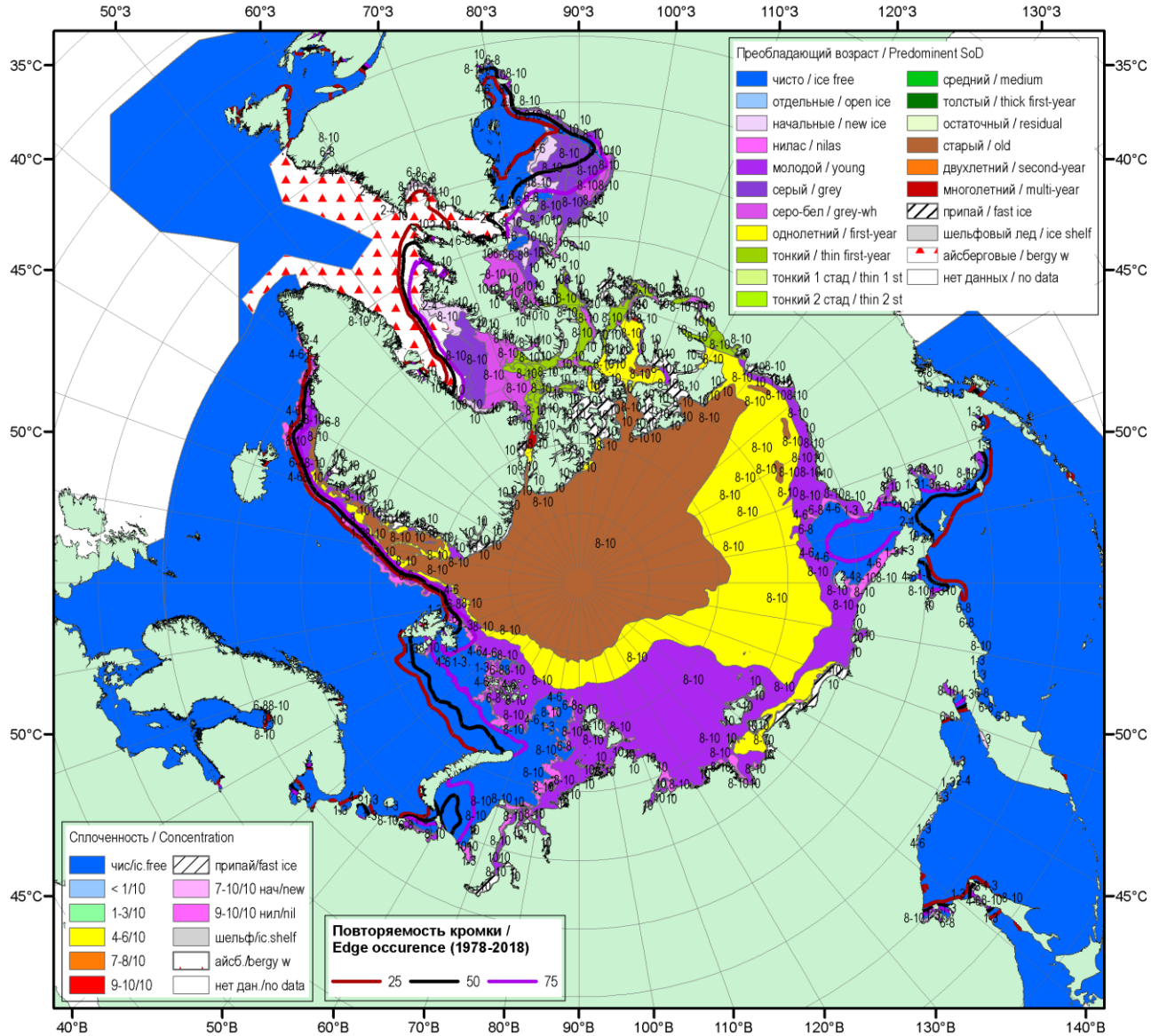


Рисунок 16 – Обзорная ледовая карта СЛО за 26.11.2020-01.12.2020 г. (цветовая раскраска по преобладающему возрасту) на основе ледового анализа ААНИИ (01.12), Национального ледового центра США (26.11) и повторяемость кромки за 26-30.11 за период 1979-2018 гг. по наблюдениям SSMR-SSM/I-SSMIS (алгоритм NASATEAM).

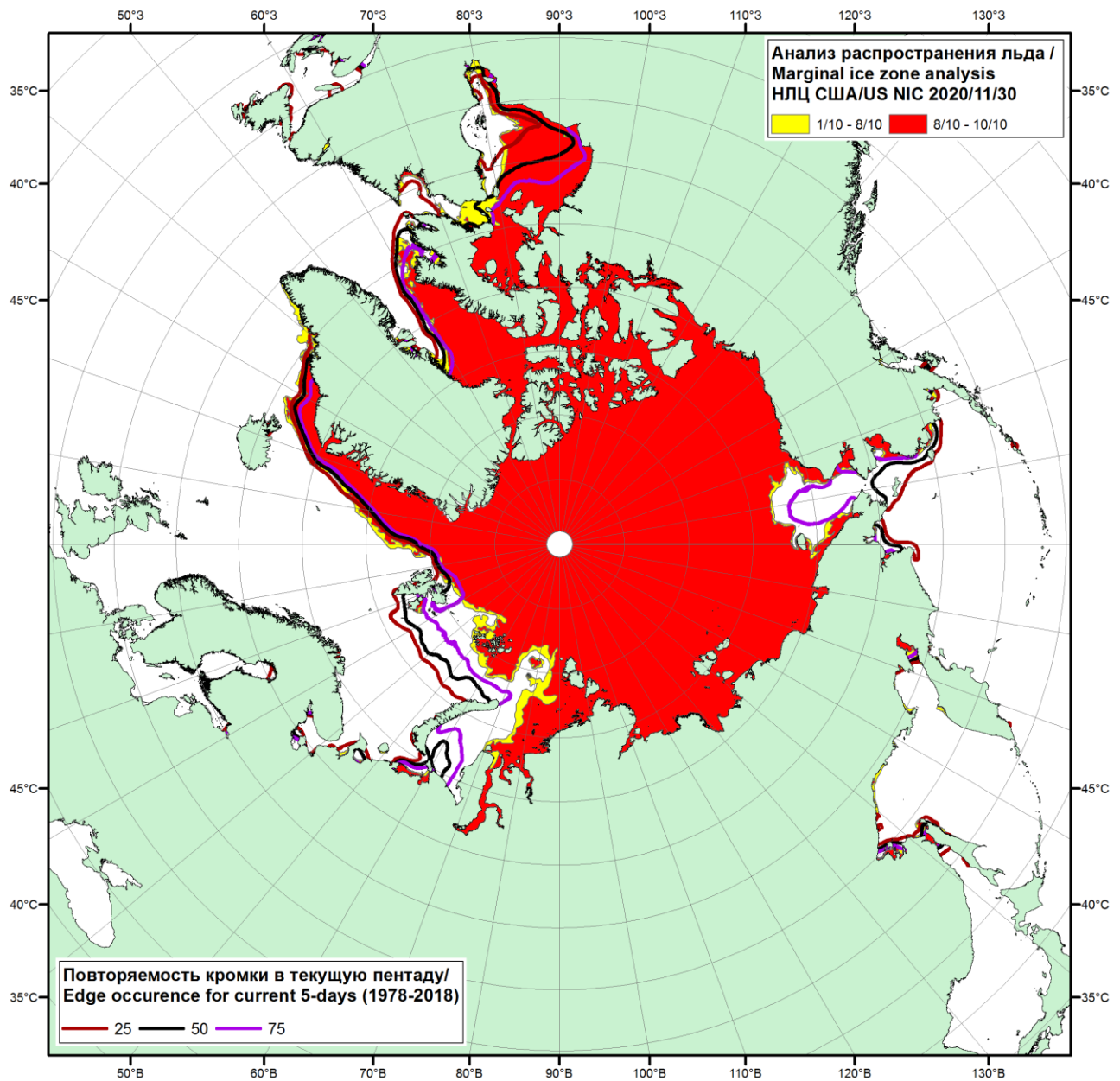


Рисунок 1в – Положение кромки льда и зон разреженных ($<8/10$) и сплоченных ($\geq 8/10$) льдов СЛО за 30.11.2020 г. на основе ледового анализа Национального Ледового Центра США и повторяемость кромки за 26-30.11 за период 1979-2018 гг. по наблюдениям SSMR-SSM/I-SSMIS (алгоритм NASATEAM)

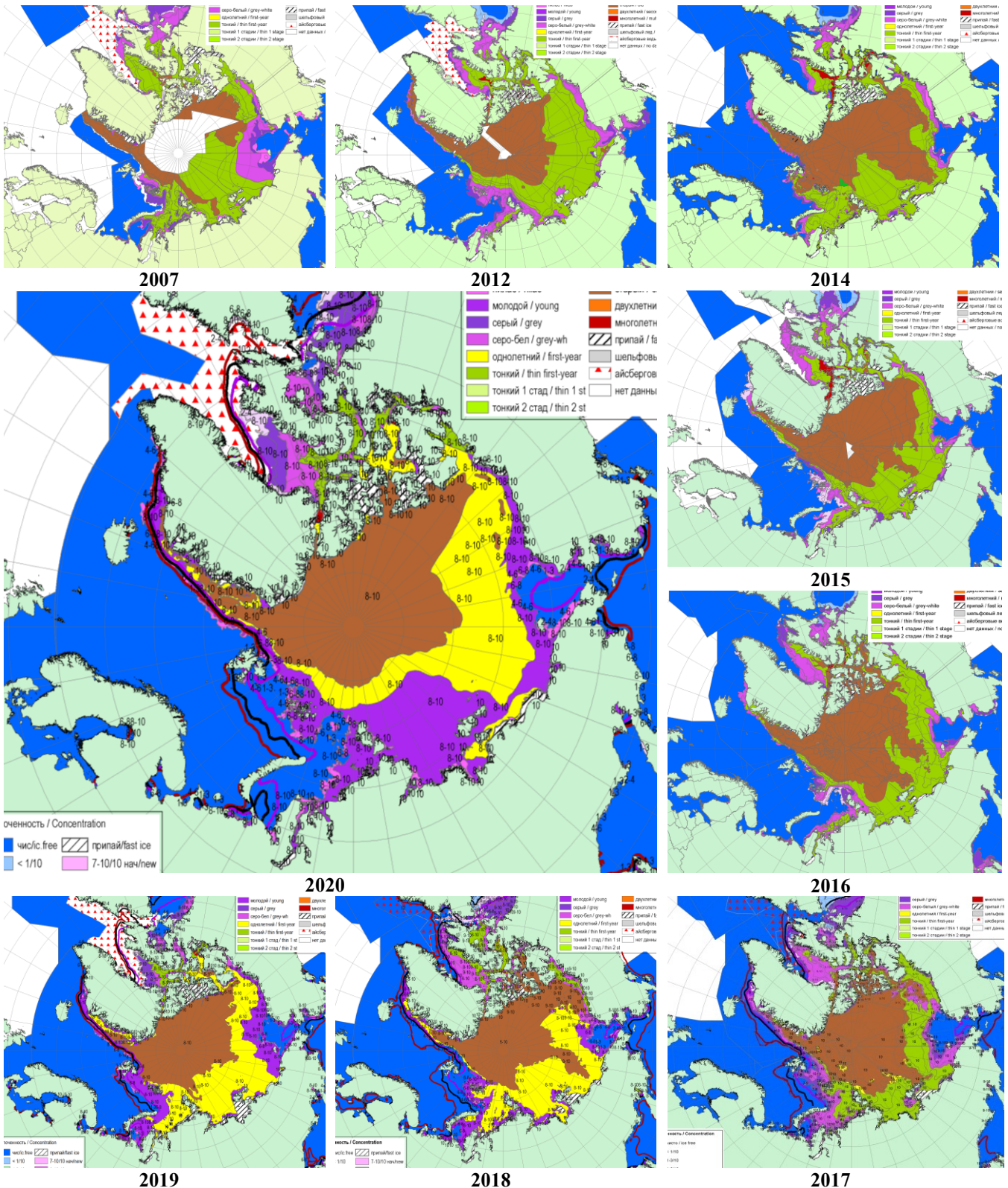


Рисунок 2а – Обзорная ледовая карта СЛО за 26.11 –01.12.2020 г. и аналогичные периоды 2007–2019 гг. на основе ледового анализа ААНИИ, НИЦ Планета, Канадской ледовой службы и Национального ледового центра США.

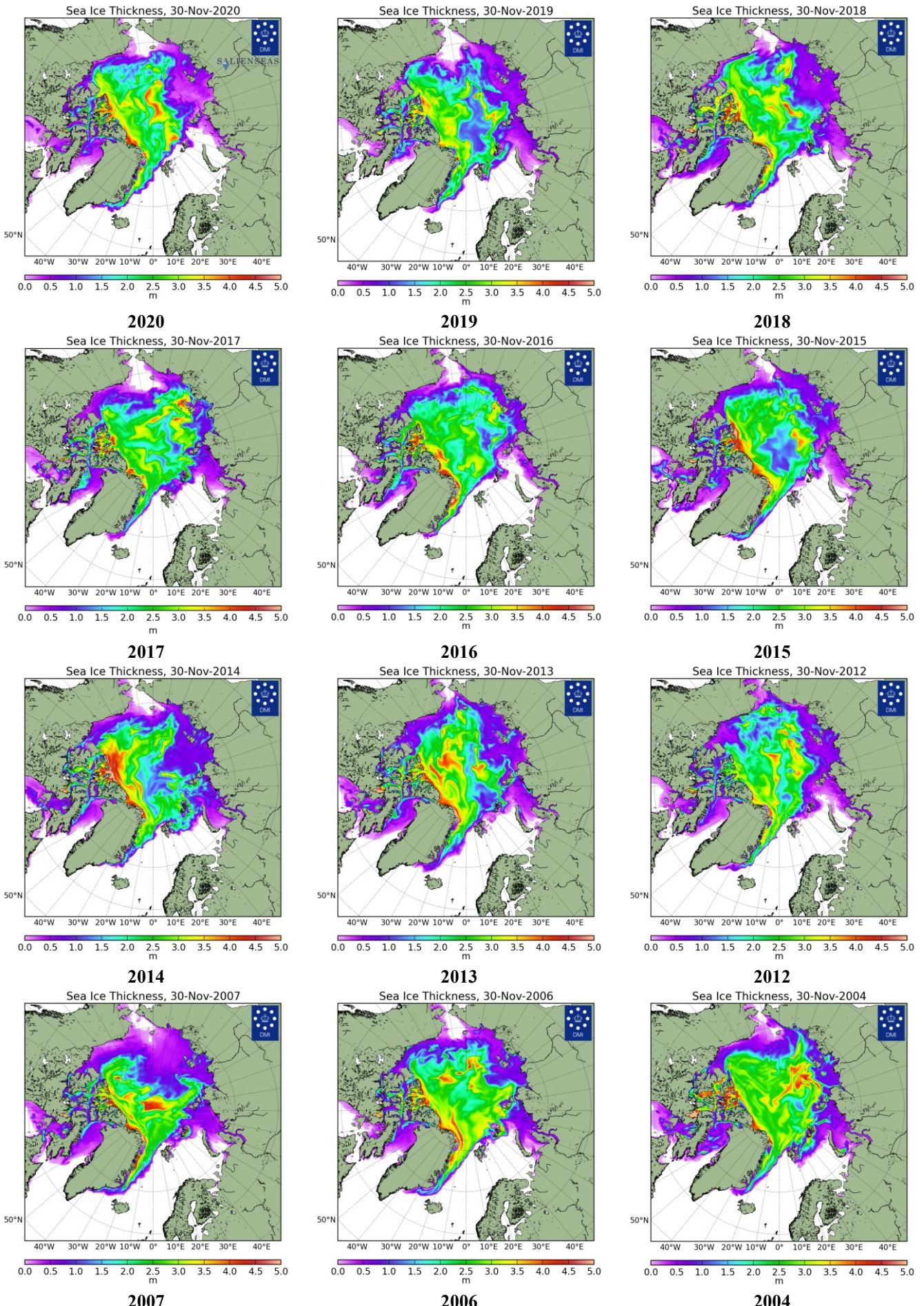


Рисунок 26 – Поля распределения средневзвешенной толщины льда совместной модели морского льда – океана HYCOM/CICE Датского метеорологического института 17.02.2004-30.11.2020 гг.

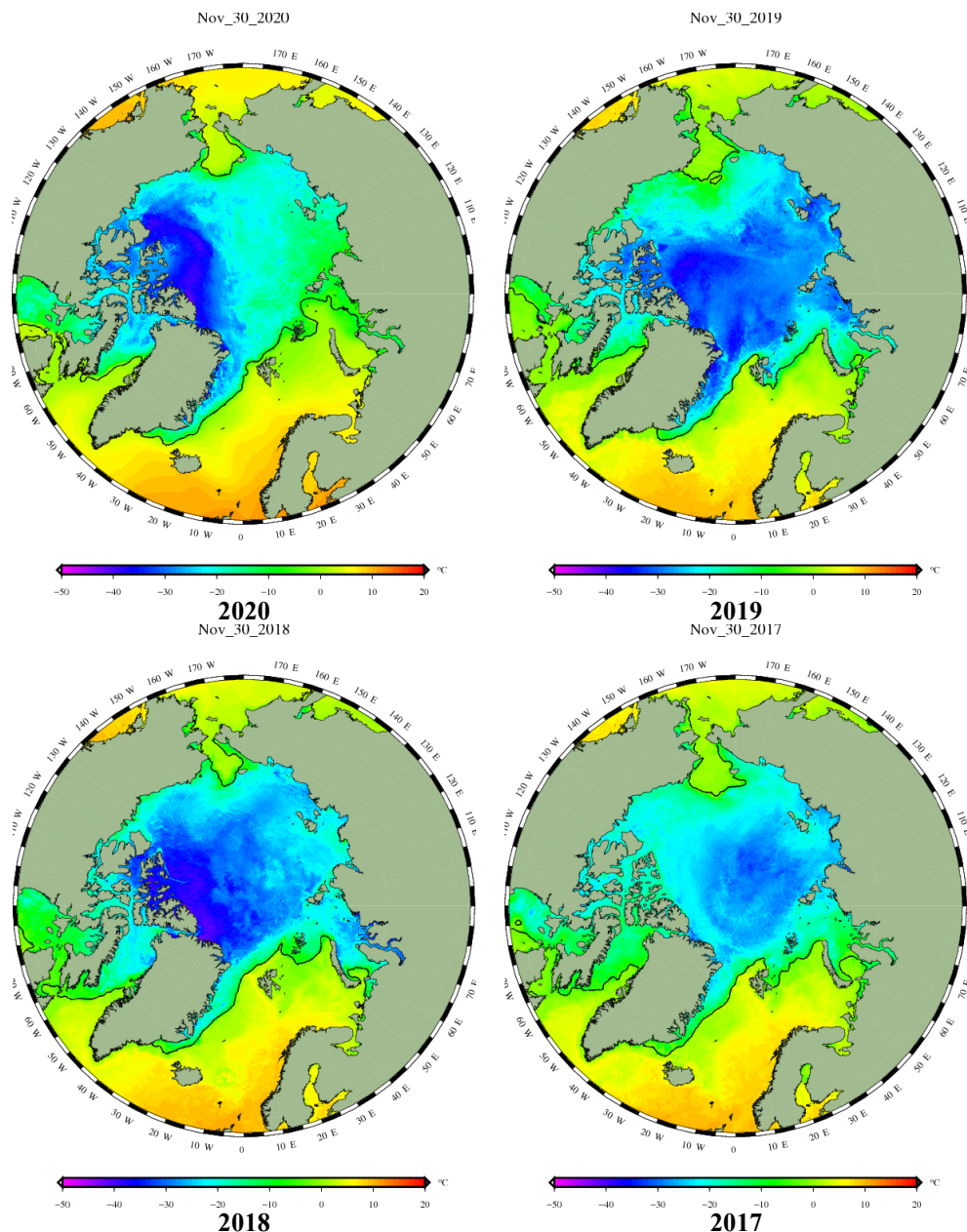


Рисунок 2в – Поля распределения средней за 36-часовые промежутки температуры поверхности морского льда и океана Датского метеорологического института на основе статистической обработки ИК-каналов AVHRR ИСЗ MetOp-A за 28.11-30.11 2017-2020 гг. (<http://polarportal.dk/en/sea-ice-and-icebergs/sea-ice-temperature/#c8099>)

Ice drift speed for 20201123T1200-20201130T1200

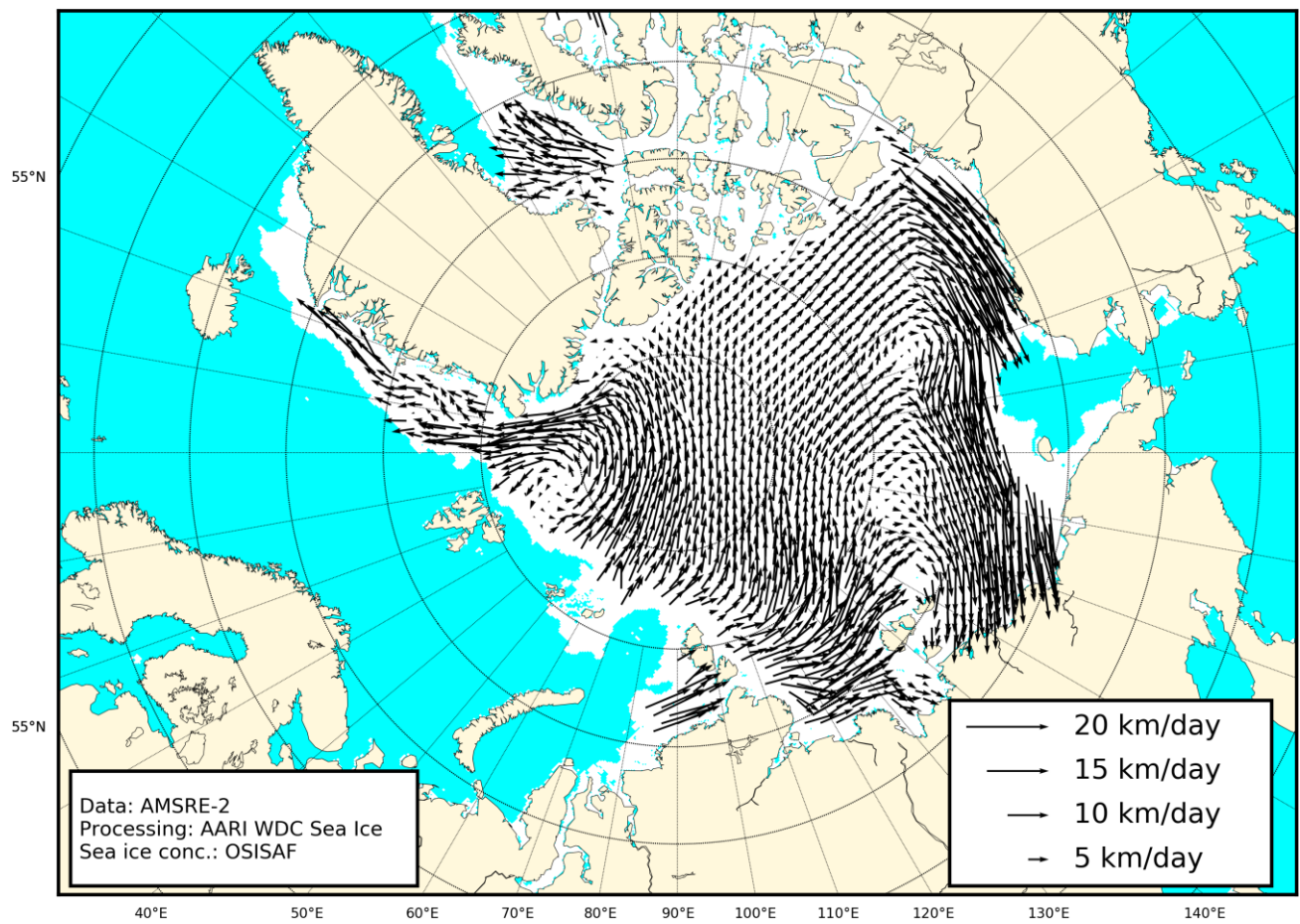


Рисунок 2г – Поле дрейфа морского льда Арктики за 23.11-30.11.2020 г., источник данных EUMETSAT OSISAF.

Arctic Sea Ice Volume, 30-Nov-2020

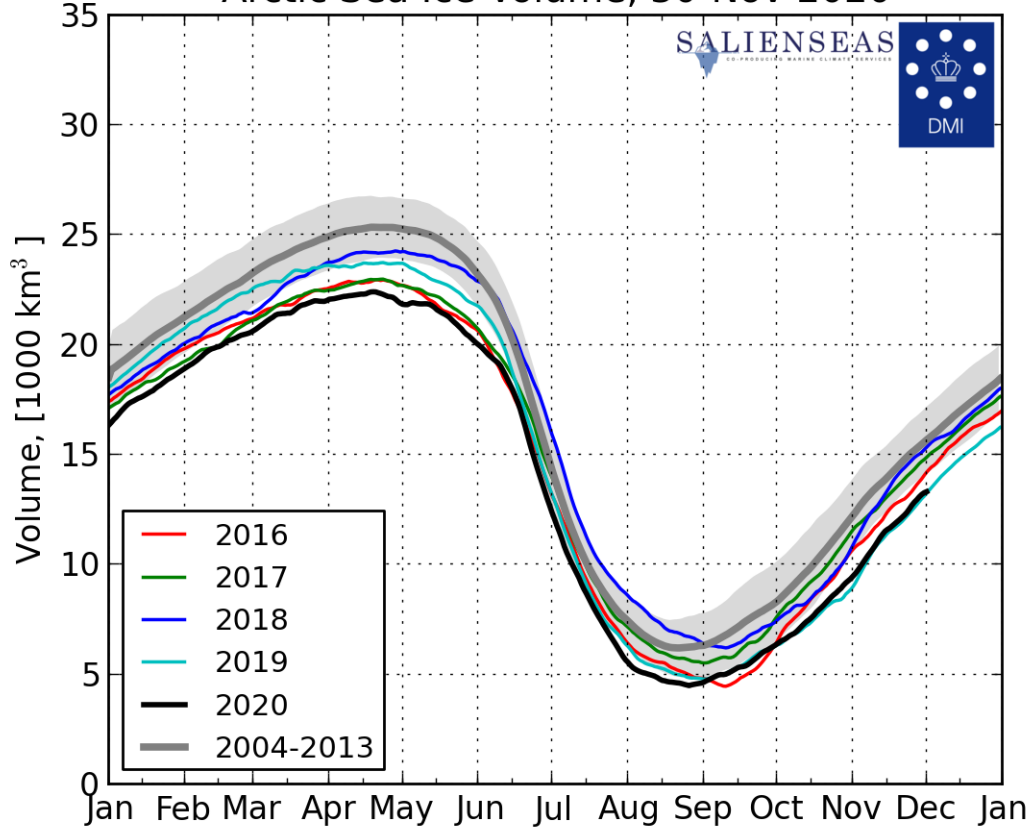
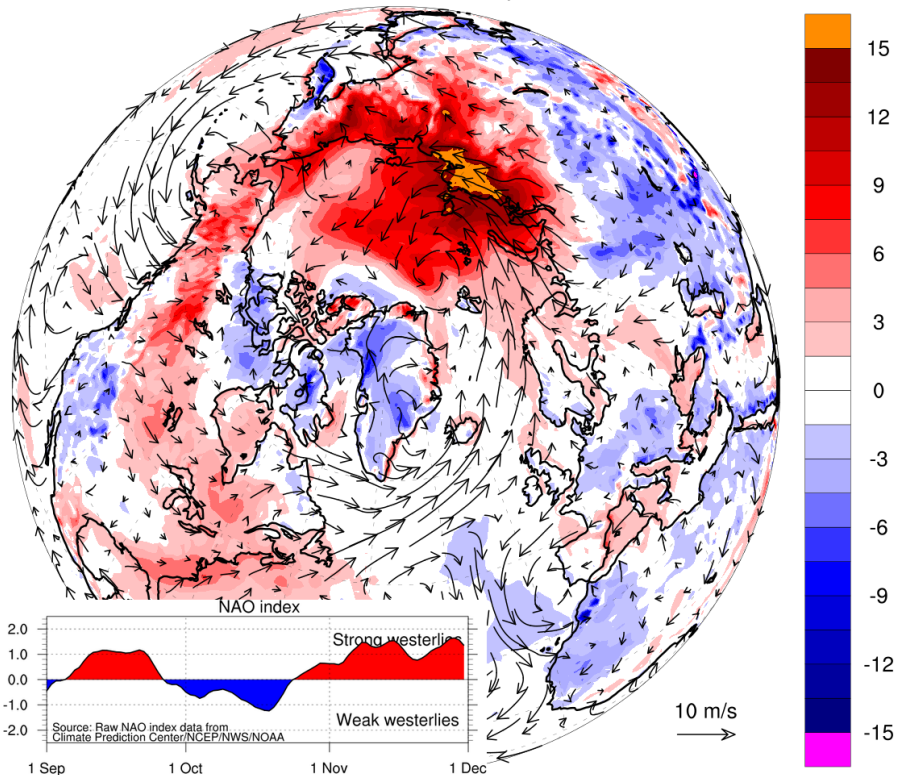


Рисунок 2д – Ежедневные оценки сезонного хода объема морского льда СЛО на основе расчетов средневзвешенной толщины льда совместной модели морского льда – океана HYCOM/CICE Датского метеорологического института с 01.01.2004 по 30.11.2020 гг.

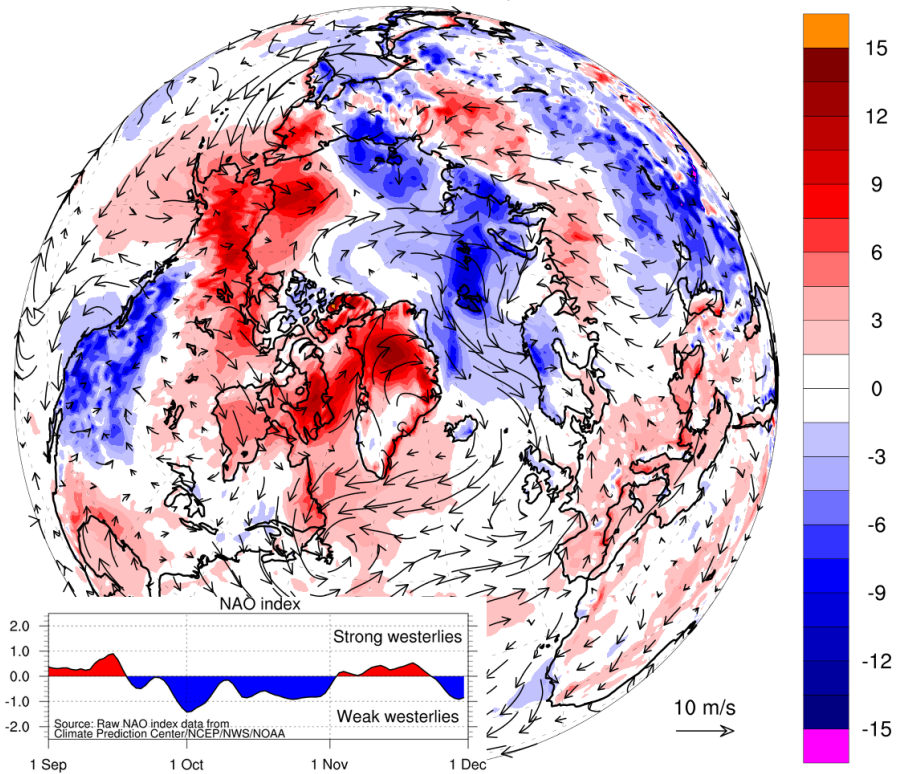
Nov 26 to Nov 30, 2020



ECMWF forecast: 2-m temperature and 10-m wind
T2m anomaly relative to ERA-Interim 2004-2013

polarportal.org

Nov 26 to Nov 30, 2019



ECMWF forecast: 2-m temperature and 10-m wind
T2m anomaly relative to ERA-Interim 2004-2013

polarportal.org

Рисунок 2е – Аномалии приземной температуры воздуха (2м) и осредненные вектора скорости ветра (10 м) за 26.11-30.11.2020 гг. относительно периода 2004-2013 гг. (<http://polarportal.dk>)

Таблица 1 – Динамика изменения значений ледовитости по сравнению с предыдущей неделей для морей Северной полярной области за 23.11 – 29.11.2020 г. по данным наблюдений SSMR-SSM/I-SSMIS

Регион	Северная полярная область	Сектор 45°W-95°E (Гренландское - Карское моря)	Сектор 95°E-170°W (моря Лаптевых - Чукотское, Берингово, Охотское)	Сектор 170°W-45°W (море Бофорта и Канадская Арктика)	Северный Ледовитый океан	Моря СМП (моря Карское-Чукотское)
Разность	632.4	127.6	-14.3	519.0	540.8	48.6
тыс.кв.км/сут.	90.3	18.2	-2.0	74.1	77.3	6.9

Таблица 2 - Медианные значения ледовитости для Северной полярной области, 3-х меридиональных секторов и моря СМП за текущие 30 и 7-дневные интервалы и её аномалии от 2012-2016 гг. и интервалов 2007-2017 гг. и 1978-2017 гг. по данным наблюдений SSMR-SSM/I-SSMIS, алгоритмы NASATEAM

Северная полярная область

Месяц	S, тыс. км2	Аномалии, тыс км2/%						
		2015 г	2016 г	2017 г	2018 г	2019 г	2010-2020гг	1978-2020гг
30.10-29.11	8923.0	-858.2	505.7	-428.9	-736.5	-262.4	-498.2	-1514.7
		-8.8	6.0	-4.6	-7.6	-2.9	-5.3	-14.5
23-29.11	10058.0	-524.1	710.3	-215.8	-692.3	-116.7	-303.5	-1230.3
		-5.0	7.6	-2.1	-6.4	-1.1	-2.9	-10.9

Сектор 45°W-95°E (Гренландское - Карское моря)

Месяц	S, тыс. км2	Аномалии, тыс км2/%						
		2015 г	2016 г	2017 г	2018 г	2019 г	2010-2020гг	1978-2020гг
30.10-29.11	1795.3	-301.8	237.0	-273.3	-212.5	-660.6	-333.2	-830.1
		-14.4	15.2	-13.2	-10.6	-26.9	-15.7	-31.6
23-29.11	1984.7	-264.1	321.7	-409.5	-415.4	-761.5	-400.3	-849.4
		-11.7	19.3	-17.1	-17.3	-27.7	-16.8	-30.0

Сектор 95°E-170°W (моря Лаптевых - Чукотское, Берингово, Охотское)

Месяц	S, тыс. км2	Аномалии, тыс км2/%						
		2015 г	2016 г	2017 г	2018 г	2019 г	2010-2020гг	1978-2020гг
30.10-29.11	2898.0	-330.9	-143.3	-262.8	-291.8	-237.6	-287.1	-452.4
		-10.2	-4.7	-8.3	-9.1	-7.6	-9.0	-13.5
23-29.11	3205.6	-169.4	-132.4	-32.4	-94.3	-92.8	-125.3	-256.9
		-5.0	-4.0	-1.0	-2.9	-2.8	-3.8	-7.4

Сектор 170°W-45°W (море Бофорта и Канадская Арктика)

Месяц	S, тыс. км2	Аномалии, тыс км2/%						
		2015 г	2016 г	2017 г	2018 г	2019 г	2010-2020гг	1978-2020гг
30.10-29.11	4229.7	-225.6	412.0	107.2	-232.2	635.8	122.2	-232.1
		-5.1	10.8	2.6	-5.2	17.7	3.0	-5.2
23-29.11	4867.7	-90.7	520.9	226.0	-182.6	737.6	222.1	-124.0
		-1.8	12.0	4.9	-3.6	17.9	4.8	-2.5

Северный Ледовитый океан

Месяц	S, тыс. км2	Аномалии, тыс км2/%						
		2015 г	2016 г	2017 г	2018 г	2019 г	2010-2020гг	1978-2020гг
30.10-29.11	8407.9	-936.2	250.3	-616.1	-879.2	-514.5	-665.0	-1528.7
		-10.0	3.1	-6.8	-9.5	-5.8	-7.3	-15.4
23-29.11	9449.2	-515.1	569.4	-375.0	-818.2	-396.0	-415.3	-1138.1
		-5.2	6.4	-3.8	-8.0	-4.0	-4.2	-10.7

Моря СМП (моря Карское-Чукотское)

Месяц	S, тыс. км2	Аномалии, тыс км2/%						
		2015 г	2016 г	2017 г	2018 г	2019 г	2010-2020гг	1978-2020гг
30.10-29.11	1788.9	-578.0	5.5	-435.6	-501.7	-483.5	-488.8	-844.4
		-24.4	0.3	-19.6	-21.9	-21.3	-21.5	-32.1
23-29.11	2126.7	-474.8	-30.5	-335.2	-539.7	-423.0	-430.5	-693.9
		-18.3	-1.4	-13.6	-20.2	-16.6	-16.8	-24.6

Таблица 3 – Экстремальные и средние значения ледовитости для Северной полярной области, 3 меридиональных секторов и моря СМП за текущий 7-дневный интервал по данным наблюдений SSMR-SSM/I-SSMIS, алгоритмы NASATEAM

Северная полярная область

Месяц	Минимальное знач.	Максимальное знач.	Среднее знач.	Медиана
23-29.11	8991.8 23.11.2016	12814.0 29.11.1978	11288.3	11260.0

Сектор 45°W-95°E (Гренландское - Карское моря)

Месяц	Минимальное знач.	Максимальное знач.	Среднее знач.	Медиана
23-29.11	1463.9 23.11.2016	3649.1 28.11.1988	2834.1	2893.5

Сектор 95°E-170°W (моря Лаптевых - Чукотское, Берингово, Охотское)

Месяц	Минимальное знач.	Максимальное знач.	Среднее знач.	Медиана
23-29.11	3159.4 28.11.2020	3753.5 29.11.1979	3462.5	3477.2

Сектор 170°W-45°W (море Бофорта и Канадская Арктика)

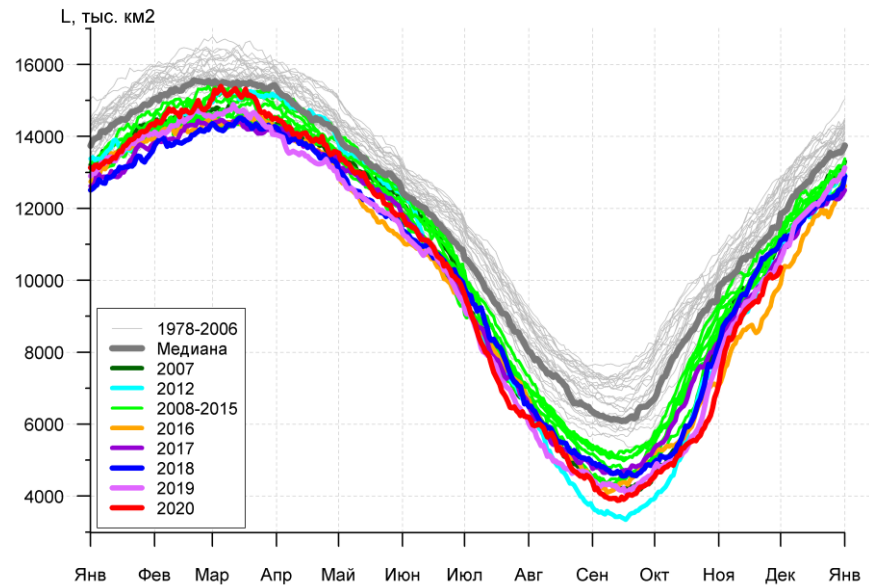
Месяц	Минимальное знач.	Максимальное знач.	Среднее знач.	Медиана
23-29.11	4057.1 25.11.2010	5963.7 27.11.1986	4991.7	4971.3

Северный Ледовитый океан

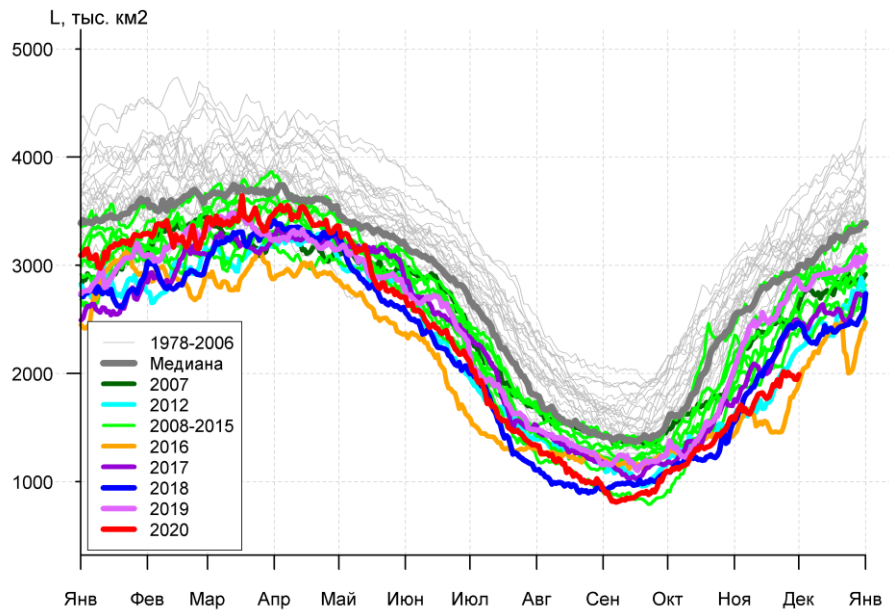
Месяц	Минимальное знач.	Максимальное знач.	Среднее знач.	Медиана
23-29.11	8612.8 23.11.2016	11977.3 29.11.1978	10587.4	10554.3

Моря СМП (моря Карское-Чукотское)

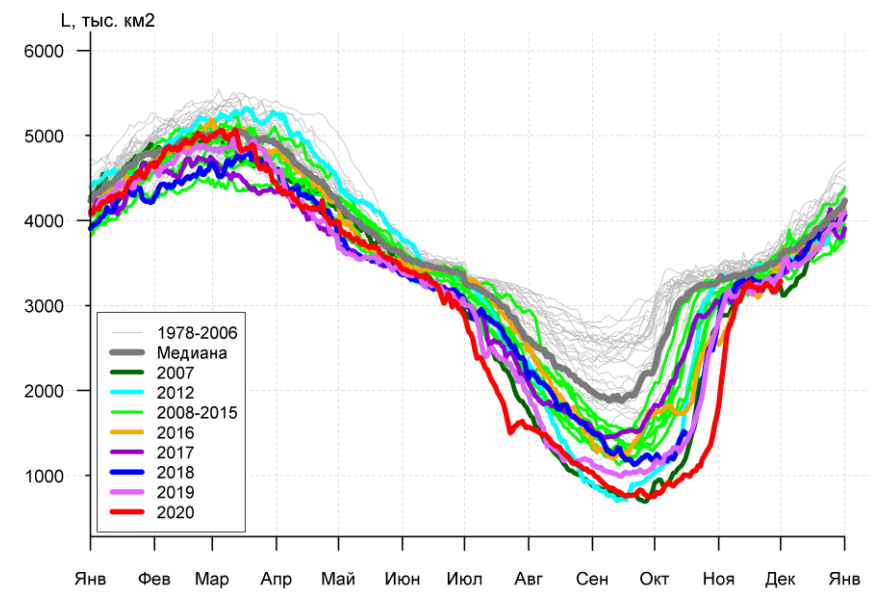
Месяц	Минимальное знач.	Максимальное знач.	Среднее знач.	Медиана
23-29.11	2012.2 23.11.2016	3025.9 23.11.1980	2820.6	2898.0



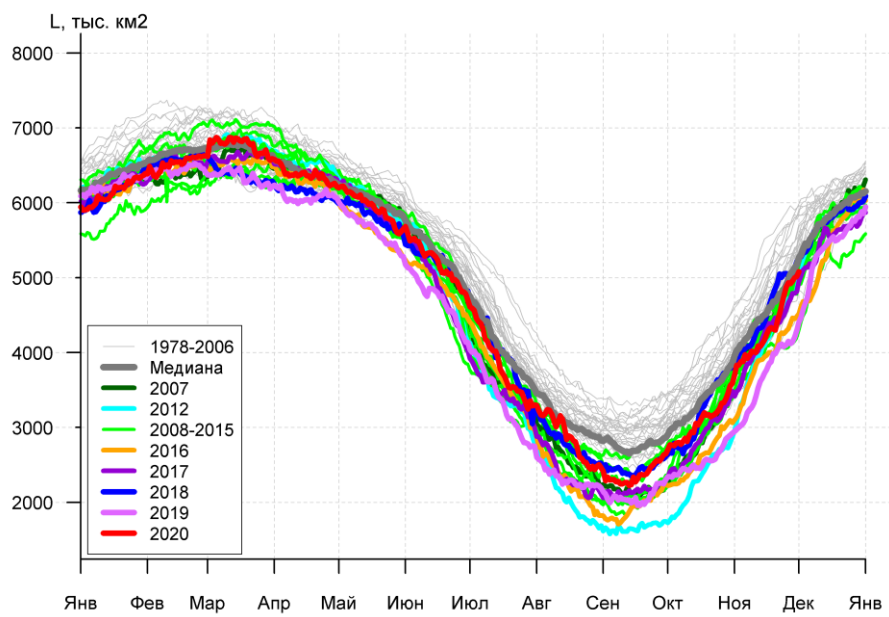
а)



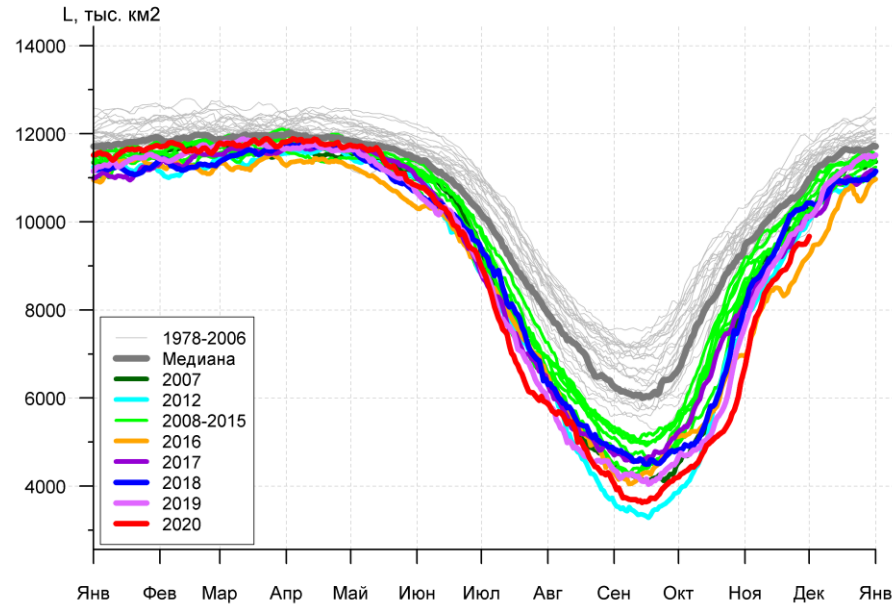
б)



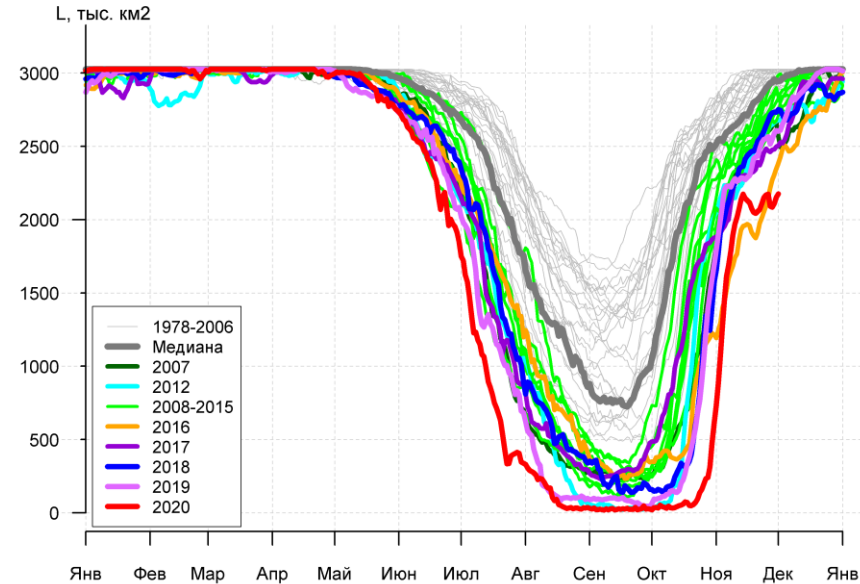
в)



г)



д)



е)

Рисунок 3а – Ежедневные оценки сезонного хода ледовитости для Северной Полярной Области и трех меридиональных секторов за период 26.10.1978 – 22.11.2020 по годам на основе расчетов по данным SSMR-SSM/I-SSMIS, алгоритмы NASATEAM: а) Северная полярная область, б) сектор 45°W-95°E (Гренландское – Карское моря), в) сектор 95°E-170°W (моря Лаптевых – Чукотское и Берингово, Охотское), г) сектор 170°W-45°W (море Бофорта и Канадская Арктика), д) Северный Ледовитый океан, е) Северный морской путь (Карское - Чукотское моря).

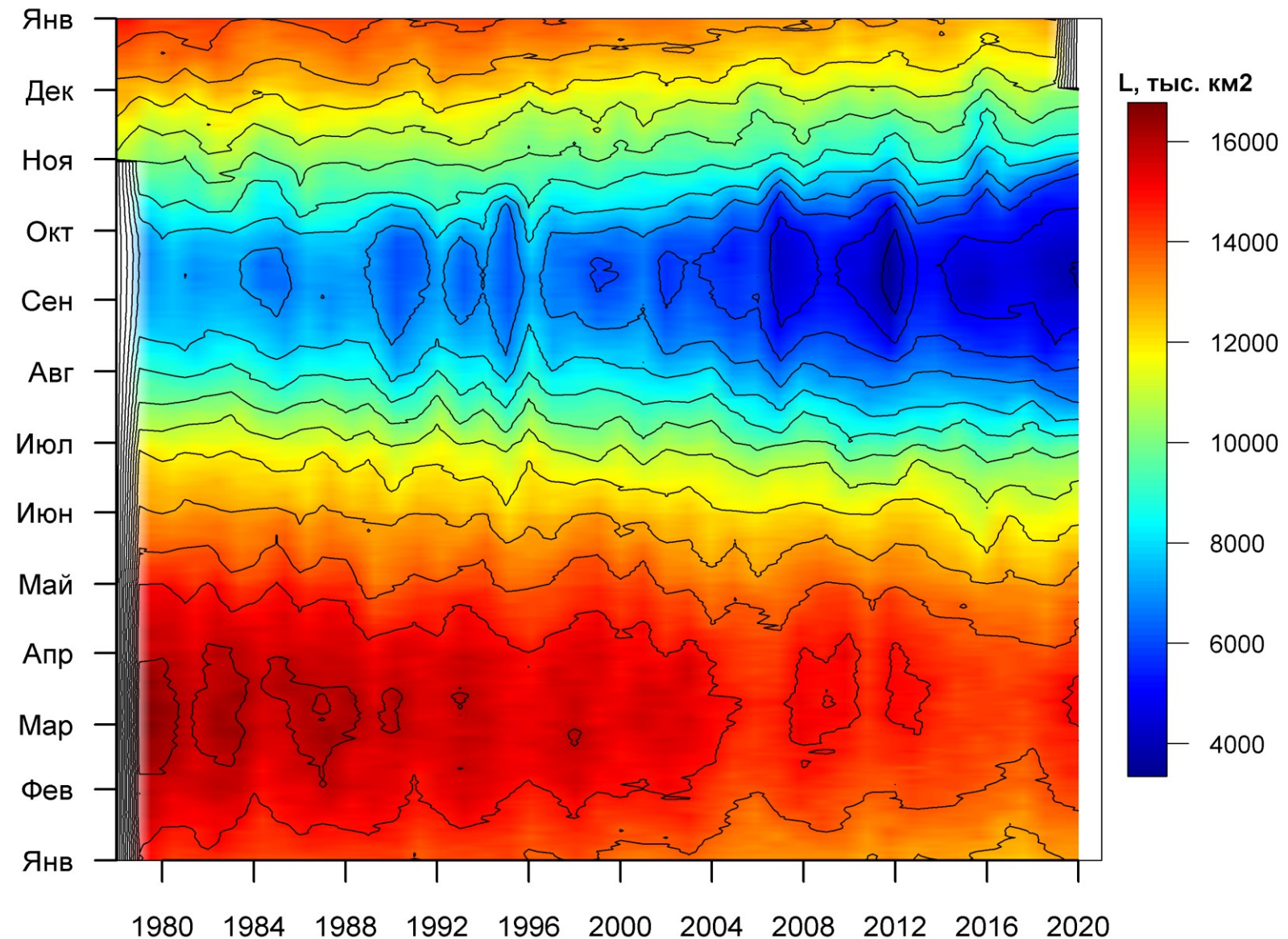


Рисунок 3б – Ежедневные оценки сезонных изменений ледовитости для Северной Полярной Области за период 26.10.1978 – 22.11.2020 на основе расчетов по данным SSMR-SSM/I-SSMIS, алгоритм NASATEAM.

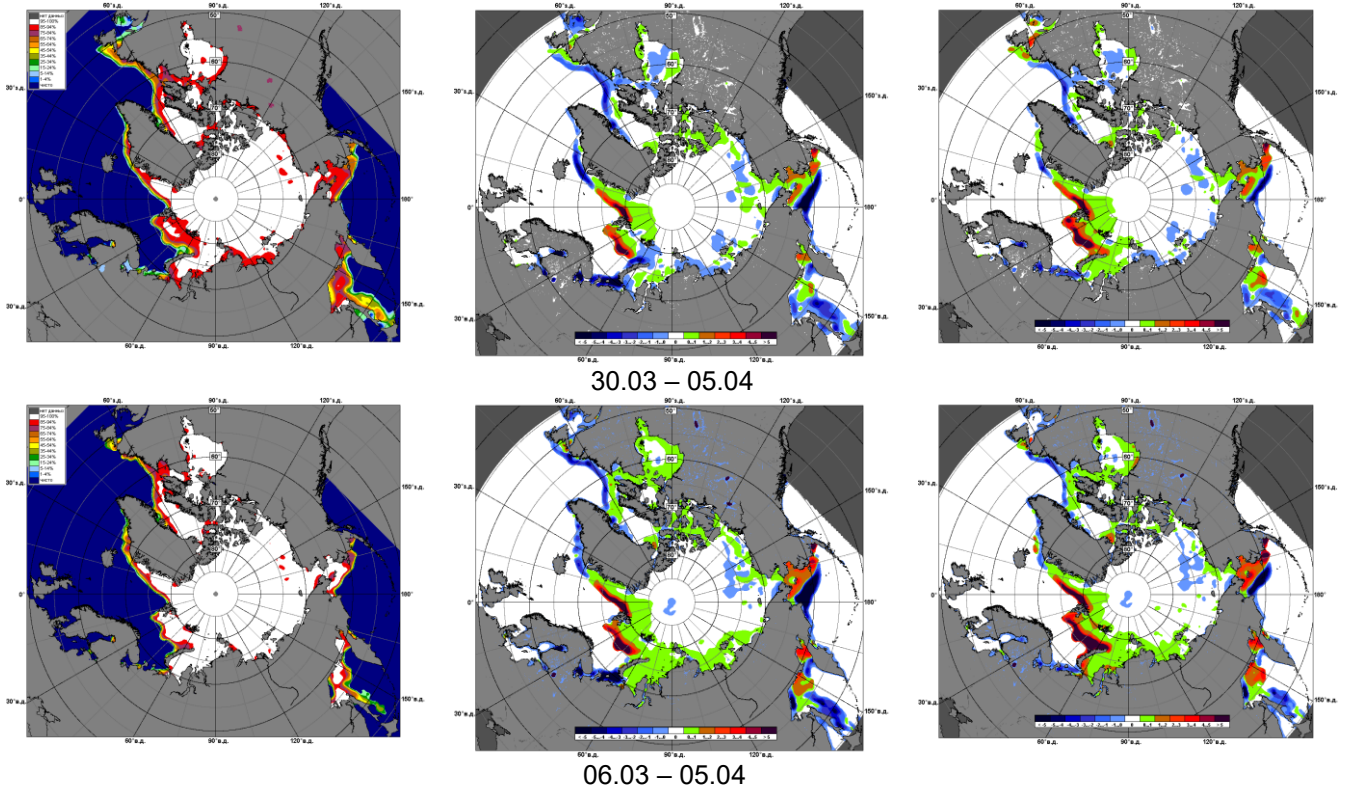


Рисунок 4 – Медианные распределения сплоченности льда за текущие 7 дневные промежутки и её разности относительно медианного распределения за те же промежутки за периоды 1979-2020 (центр) и 2009-2020 гг. (справа) на основе расчетов по данным SSMR-SSM/I-SSMIS, алгоритмы NASATEAM.

Южный океан

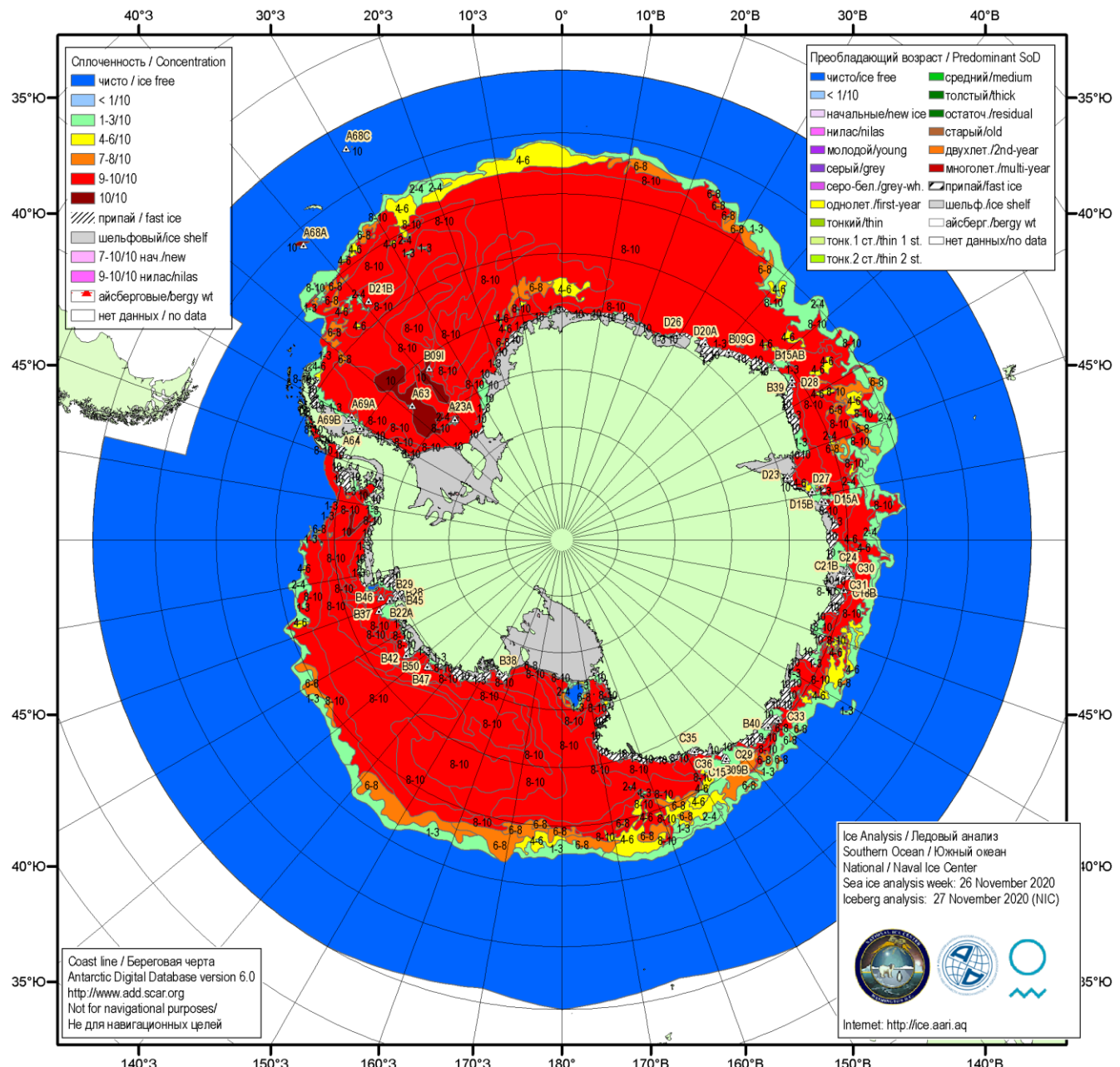


Рисунок 5а – Ледовая карта Южного океана (цветовая окраска по общей сплощенности) и расположение крупных айсбергов на основе информации совместного ледового анализа НЛЦ США, ААНИИ и НМИ (Норвегия) за 26.11.2020.

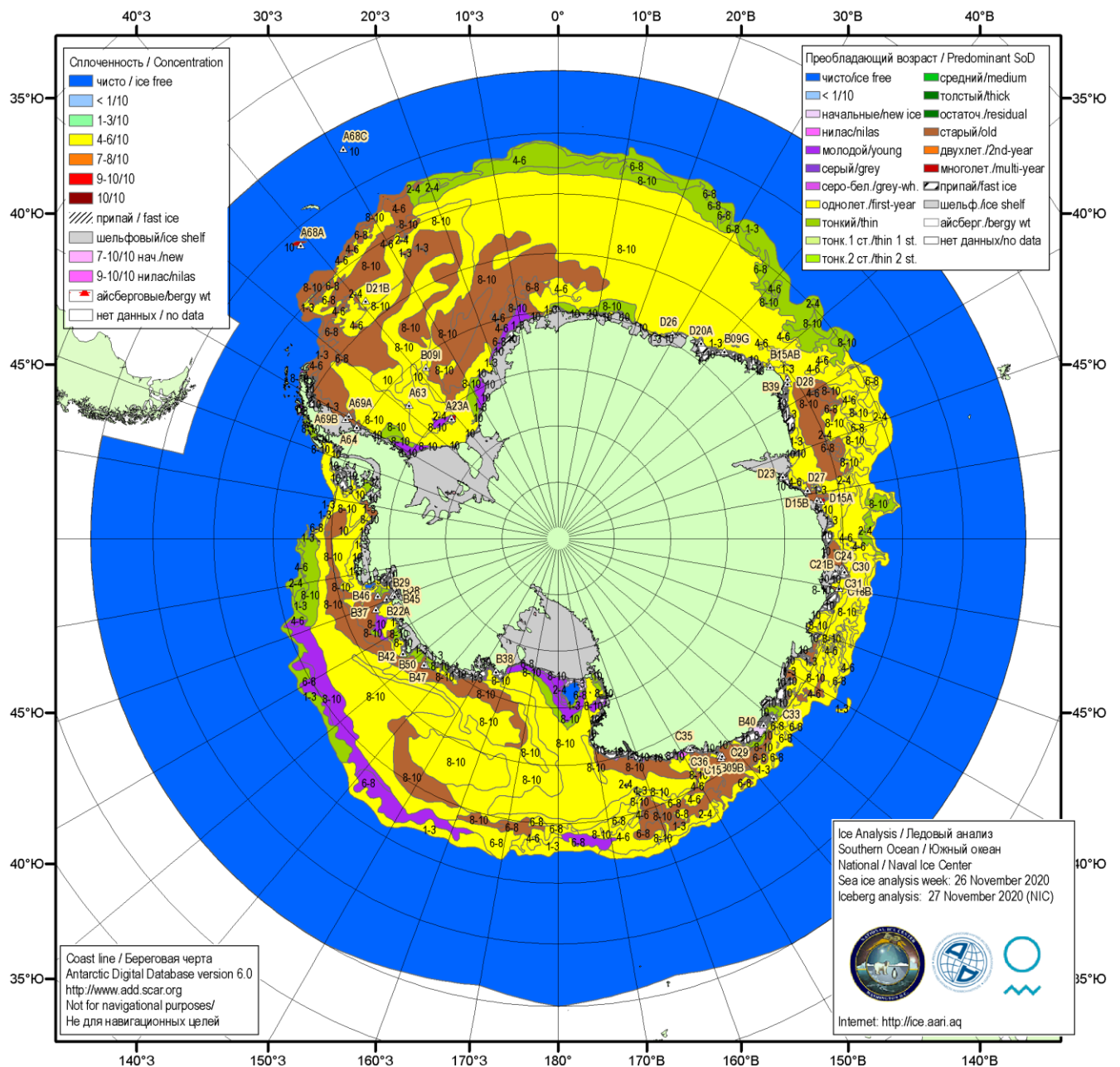


Рисунок 5б – Ледовая карта Южного океана (цветовая окраска по возрасту) и расположение крупных айсбергов на основе информации совместного ледового анализа НЛЦ США, ААНИИ и НМИ (Норвегия) за 26.11.2020.

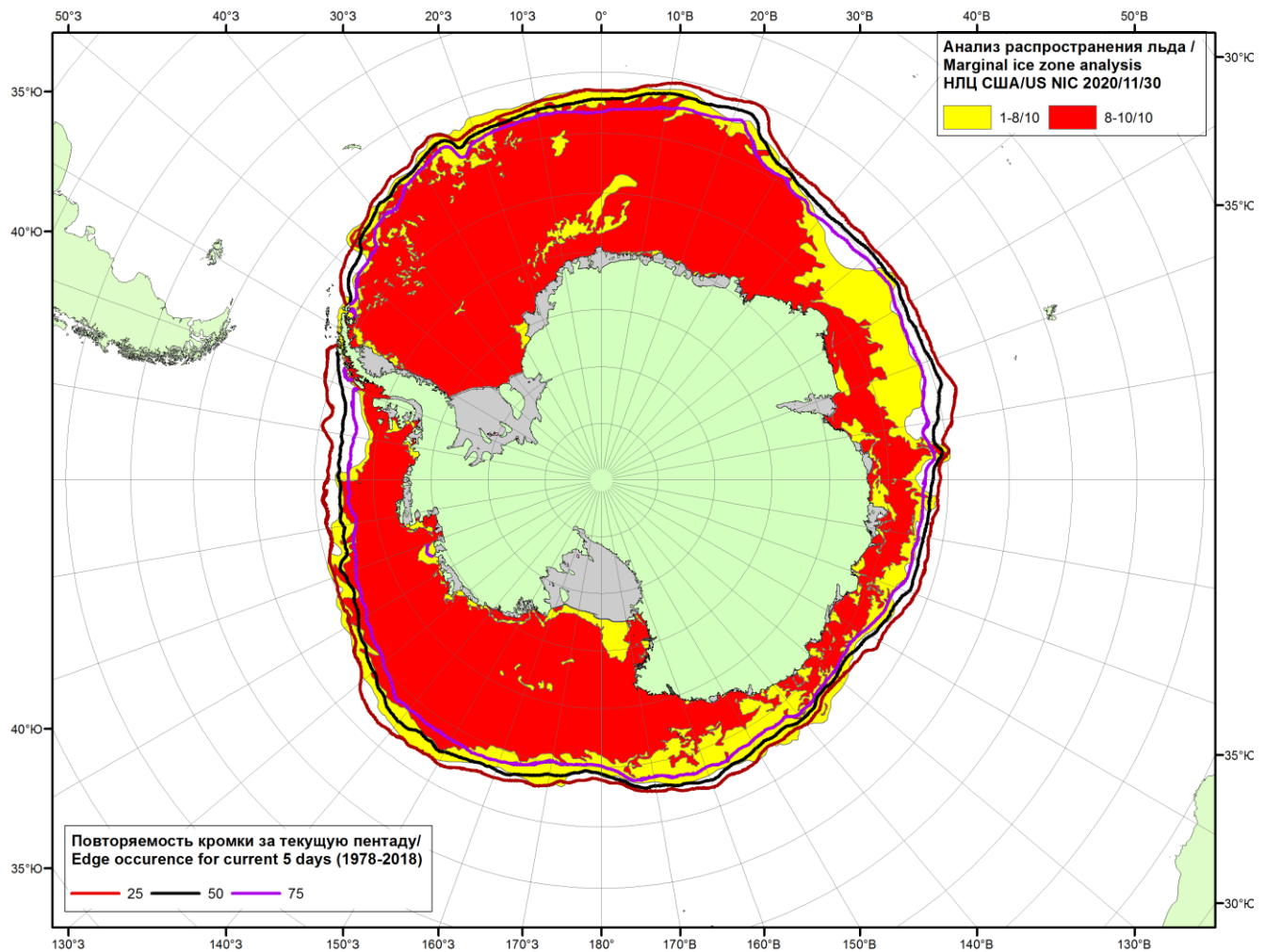


Рисунок 5в – Положение кромки льда и зон разреженных ($<8/10$) и сплоченных ($\geq8/10$) льдов Южного океана за 30.11.2020 г. на основе ледового анализа Национального Ледового Центра США и повторяемость кромки за 26-30.11 за период 1979-2018 гг. по наблюдениям SSMR-SSM/I-SSMIS (алгоритм NASATEAM).

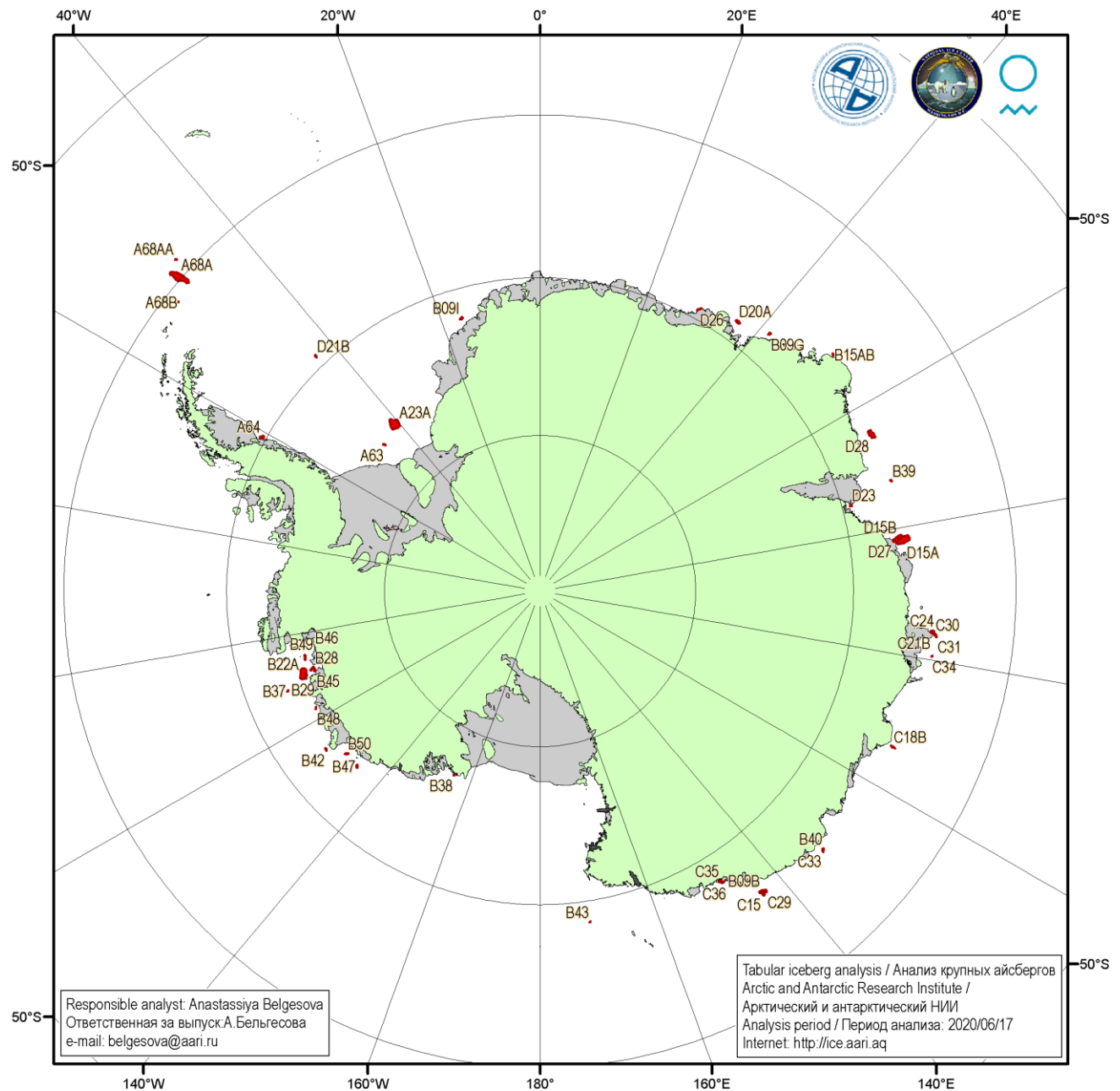
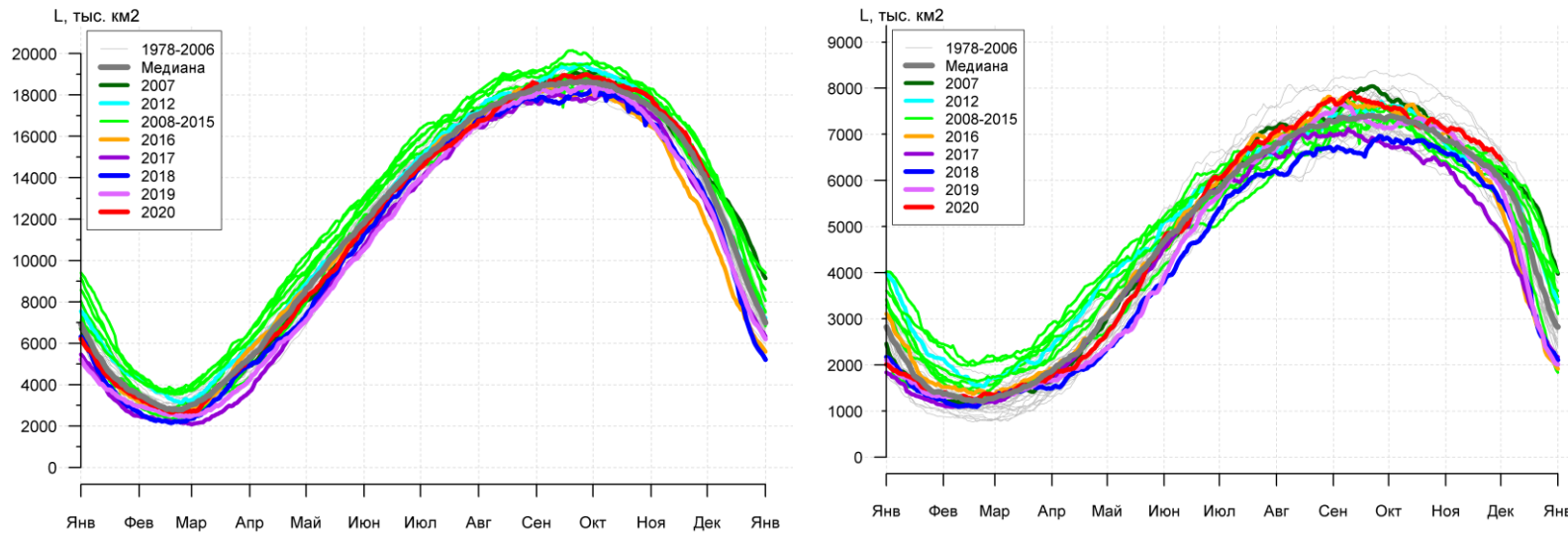


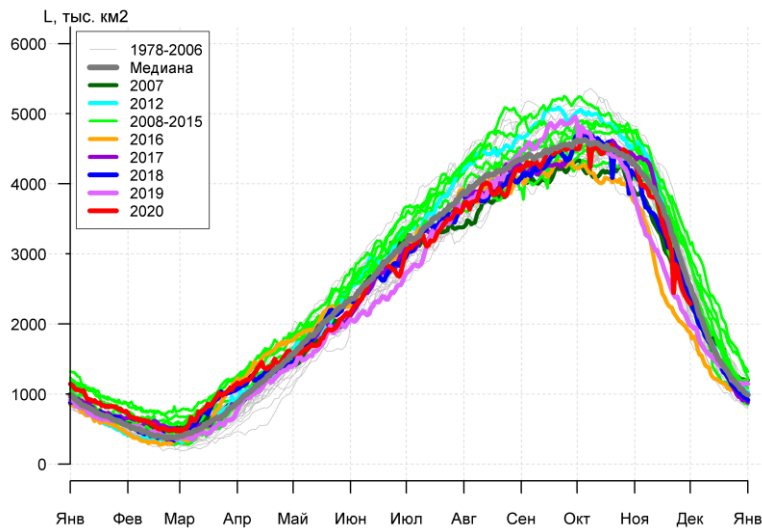
Рисунок 5д – Анализ АНИИ крупных айсбергов Южного океана за 17.06.2020.

Таблица 4 – Параметры крупных айсбергов Южного океана на основе анализа ААНИИ за 29.04.2020
 Table 4 - Southern Ocean tabular icebergs dimensions based on AARI analysis for 2020-04-29

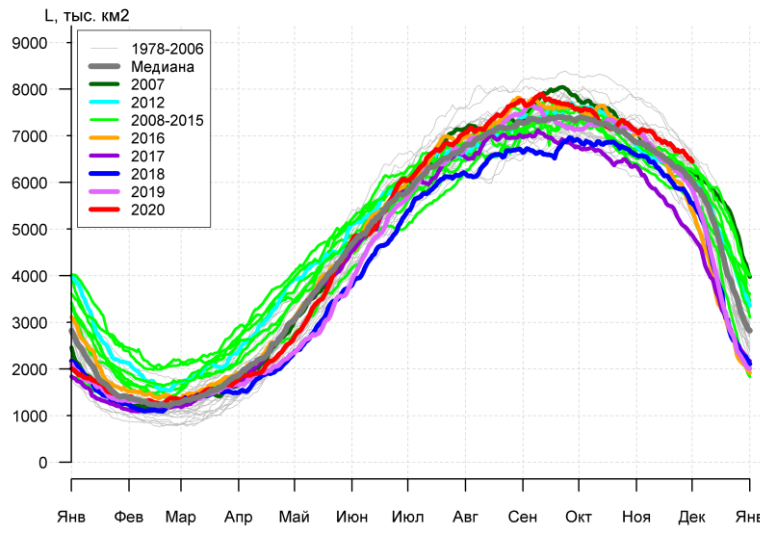
Имя/ Name	Длина/Length км/km	Ширина/Width км/km	Площадь/Area кв.км/sq.km	Имя/ Name	Длина/Length км/km	Ширина/Width км/km	Площадь/Area кв.км/sq.km
A68A	156	50	5359	D27	15	11	147
A23A	81	74	3996	B45	17	12	141
D15A	94	44	3587	B42	31	9	138
B22A	81	44	3192	A63	20	6	134
D28	11	9	1765	B15AB	20	7	109
D15B	61	22	1185	B29	20	9	108
B09B	50	19	603	B39	15	7	105
A64	30	20	461	C34	19	9	99
D20A	39	17	455	B49	19	9	97
C15	26	19	341	B46	26	7	96
C21B	22	15	317	C30	17	6	93
C18B	37	7	243	B40	15	9	90
B09I	22	11	221	C33	15	7	88
B09G	22	13	200	B38	11	7	87
B28	19	13	196	C24	20	6	85
B47	19	5	182	C31	17	6	84
A68AA	12	7	174	C29	13	9	83
D23	15	11	164	B37	15	6	82
D26	33	2	149	B48	22	4	62
D21B	20	7	147	B43	19	9	60
C35	23	10	147	A68B	13	7	35
C36	23	16	147				



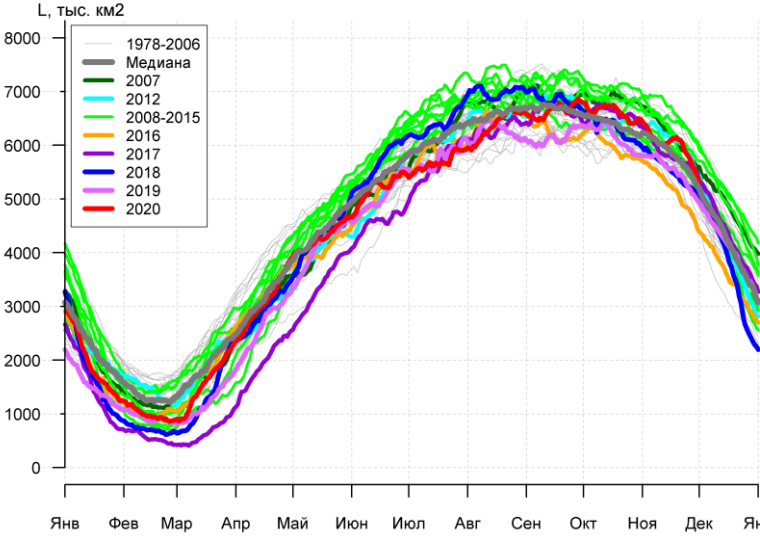
а)



в)



б)



г)

Рисунок 7а – Ежедневные оценки сезонного хода ледовитости Южного Океана и меридиональных секторов за период 26.10.1978 – 29.11.2020 по годам на основе расчетов по данным SSMR-SSM/I-SSMIS, алгоритм NASATEAM: а) Южный Океан, б) Атлантический сектор (60°W - 30°E , море Уэдделла), в) Индоокеанский сектор (30°E - 150°E , моря Космонавтов, Содружества, Моусона), г) Тихоокеанский сектор (150°E - 60°W , моря Росса, Беллинсгаузена)

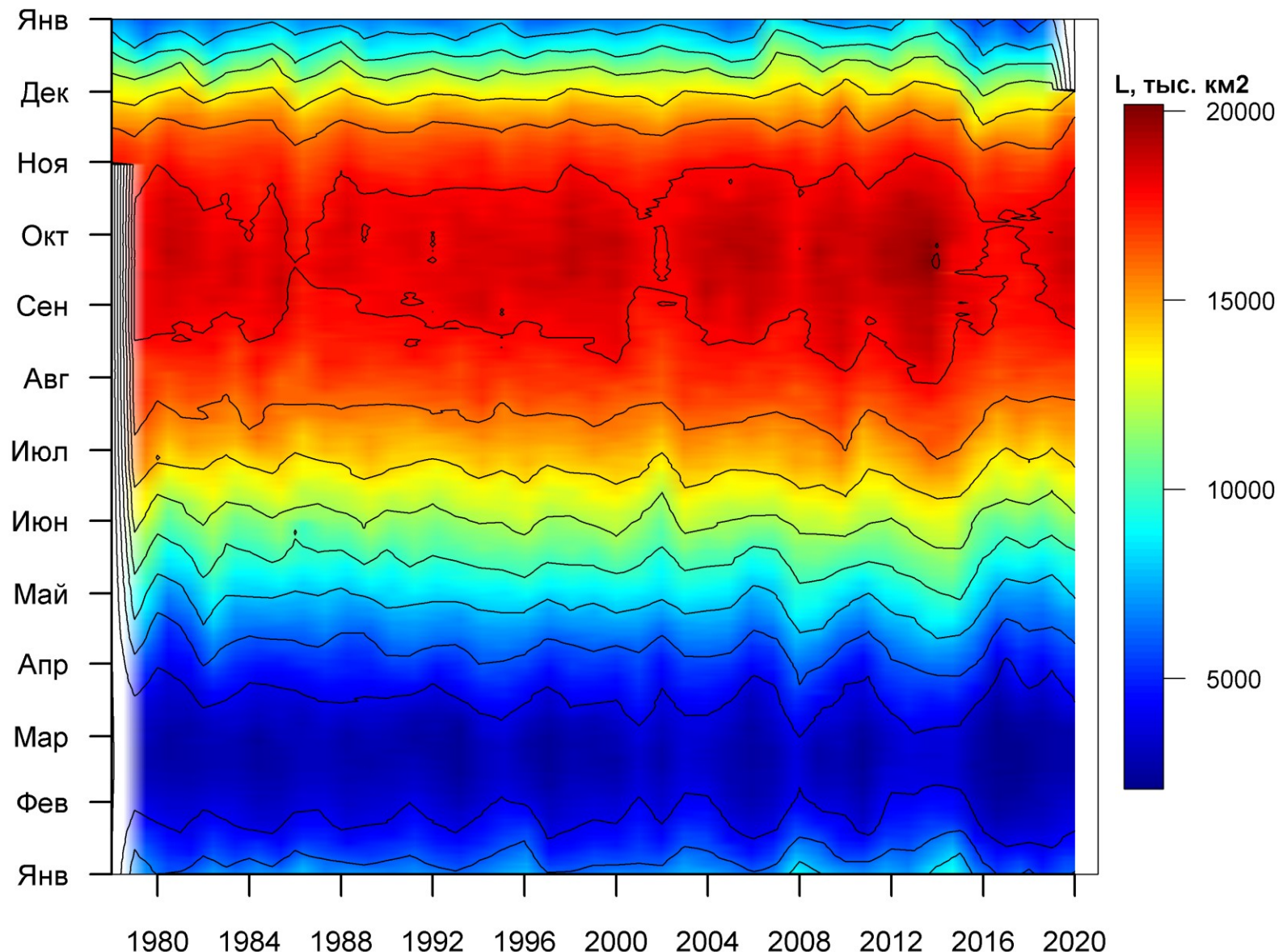


Рисунок 7б – Ежедневные оценки сезонных изменений ледовитости для Южного океана за период 26.10.1978 – 29.11.2020 на основе расчетов по данным SSMR-SSM/I-SSMIS, алгоритм NASATEAM.

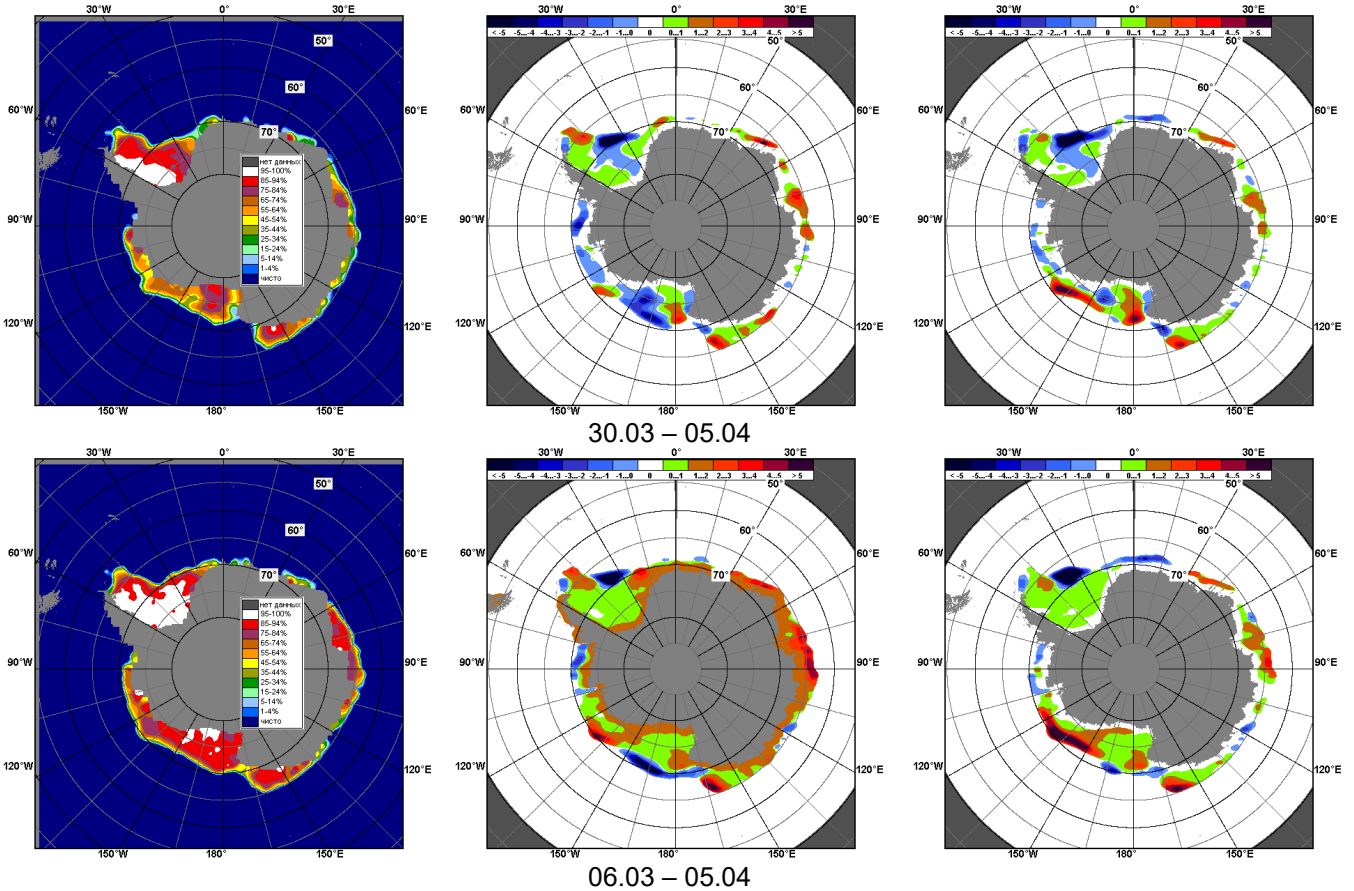


Рисунок 8 – Медианные распределения общей сплошности льда за текущие 7 дневные промежутки (слева) и её разности относительно медианного распределения за тот же промежуток за периоды 1978-2020 (центр) и 2009-2020 гг. (справа) на основе расчетов по данным SSMR-SSM/I-SSMIS, алгоритм NASATEAM

Таблица 5 – Динамика изменения значений ледовитости по сравнению с предыдущей неделей для морей Южного океана за 23.11 - 29.11.2020 г. по данным наблюдений SSMR-SSM/I-SSMIS

Регион	Южный Океан	Атлантический сектор	Индоокеанский сектор	Тихоокеанский сектор
Разность	-1091.9	-172.7	-533.1	-386.1
тыс.кв.км/сут.	-156.0	-24.7	-76.2	-55.2

Таблица 6 - Медианные значения ледовитости для Южного океана и 3 меридиональных секторов за текущие 30 и 7-дневные интервалы и её аномалии от 2012-2016 гг. и интервалов 2007-2017 гг. и 1978-2017 гг. по данным наблюдений SSMR-SSM/I-SSMIS, алгоритм NASATEAM

Южный Океан

Месяц	S, тыс. км ²	Аномалии, тыс км ² /%						
		2015 г	2016 г	2017 г	2018 г	2019 г	2010-2020гг	1978-2020гг
30.10-29.11	16429.7	99.1	1896.9	1196.5	1224.7	1338.8	460.9	380.8
		0.6	13.1	7.9	8.1	8.9	2.9	2.4
23-29.11	14935.4	-4.2	2311.1	1551.2	1195.2	1400.3	497.7	426.3
		0.0	18.3	11.6	8.7	10.3	3.4	2.9

Атлантический сектор (60°W-30°E, море Уэдделла)

Месяц	S, тыс. км ²	Аномалии, тыс км ² /%						
		2015 г	2016 г	2017 г	2018 г	2019 г	2010-2020гг	1978-2020гг
30.10-29.11	6901.8	145.4	427.5	1201.4	674.8	328.6	460.8	361.0
		2.2	6.6	21.1	10.8	5.0	7.2	5.5
23-29.11	6630.0	20.0	786.5	1532.1	813.6	522.4	521.7	455.4
		0.3	13.5	30.1	14.0	8.6	8.5	7.4

Индоокеанский сектор (30°E-150°E, моря Космонавтов, Содружества, Моусона)

Месяц	S, тыс. км ²	Аномалии, тыс км ² /%						
		2015 г	2016 г	2017 г	2018 г	2019 г	2010-2020гг	1978-2020гг
30.10-29.11	3460.0	-339.2	664.4	-177.8	63.8	507.8	-99.4	-156.3
		-8.9	23.8	-4.9	1.9	17.2	-2.8	-4.3
23-29.11	2586.4	-357.1	561.1	-85.3	-130.7	341.2	-147.3	-275.4
		-12.1	27.7	-3.2	-4.8	15.2	-5.4	-9.6

Тихоокеанский сектор (150°E-60°W, моря Росса, Беллингсгаузена)

Месяц	S, тыс. км ²	Аномалии, тыс км ² /%						
		2015 г	2016 г	2017 г	2018 г	2019 г	2010-2020гг	1978-2020гг
30.10-29.11	6067.8	292.9	804.9	172.9	486.1	502.4	99.5	176.0
		5.1	15.3	2.9	8.7	9.0	1.7	3.0
23-29.11	5719.0	332.9	963.5	104.3	512.3	536.7	123.2	246.3
		6.2	20.3	1.9	9.8	10.4	2.2	4.5

Таблица 7 – Экстремальные значения ледовитости для Южного океана и 3 меридиональных секторов за текущий 7-дневный интервал по Южный Океан

Южный Океан

Месяц	Минимальное знач.	Максимальное знач.	Среднее знач.			Медиана	
			2015 г	2016 г	2017 г		
23-29.11	12073.4 29.11.2016	16261.2 23.11.2010				14509.1	14574.6

Атлантический сектор (60°W-30°E, море Уэдделла)

Месяц	Минимальное знач.	Максимальное знач.	Среднее знач.			Медиана	
			2015 г	2016 г	2017 г		
23-29.11	4887.5 29.11.1990	7043.2 23.11.2002				6174.6	6217.2

Индоокеанский сектор (30°E-150°E, моря Космонавтов, Содружества, Моусона)

Месяц	Минимальное знач.	Максимальное знач.	Среднее знач.			Медиана	
			2015 г	2016 г	2017 г		
23-29.11	1928.7 29.11.2016	3786.0 23.11.1984				2861.8	2882.0

Тихоокеанский сектор (150°E-60°W, моря Росса, Беллингсгаузена)

Месяц	Минимальное знач.	Максимальное знач.	Среднее знач.			Медиана	
			2015 г	2016 г	2017 г		
23-29.11	4556.6 29.11.1997	6392.5 23.11.2013				5472.7	5462.9

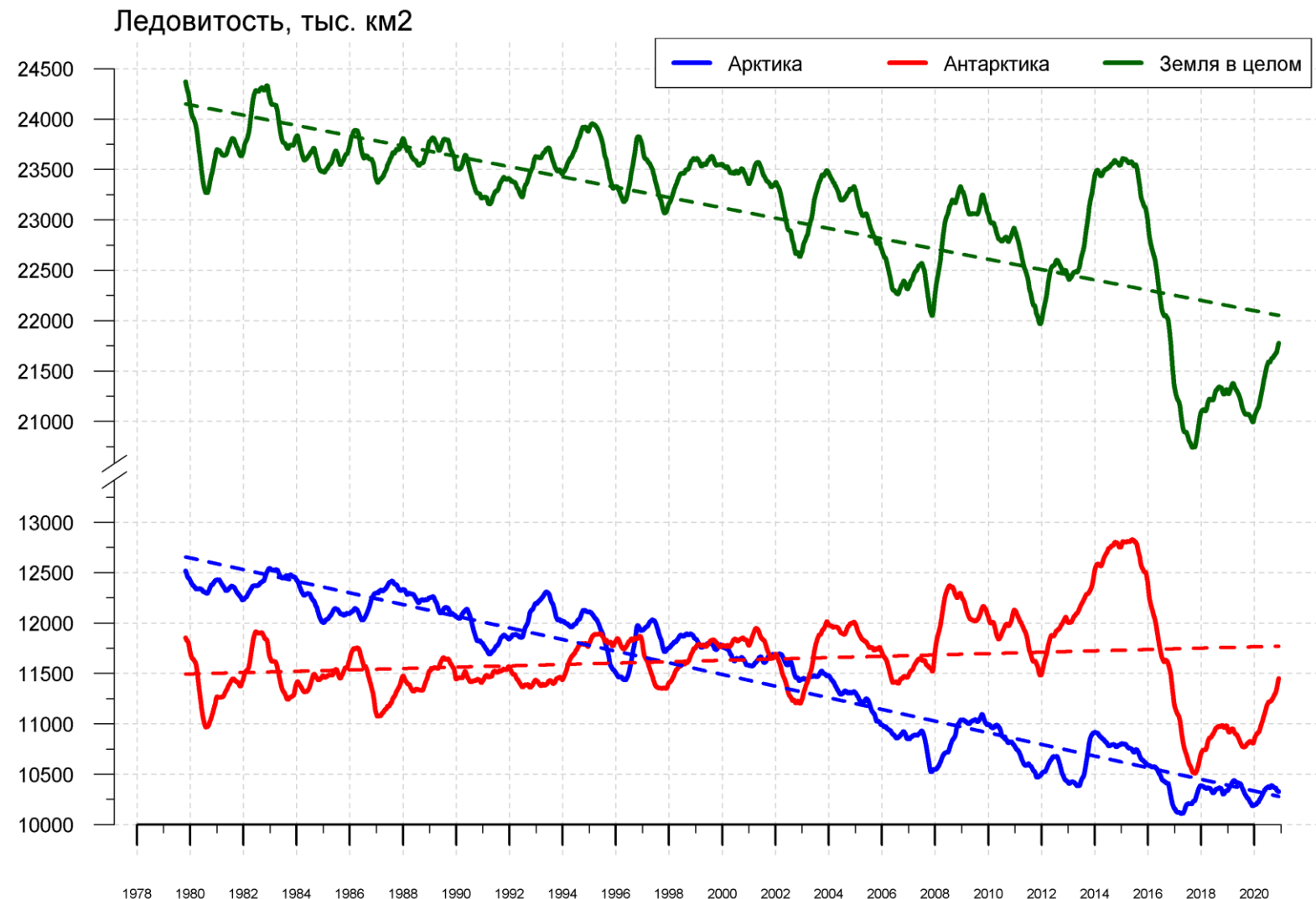


Рисунок 9 – Ежедневные сглаженные окном 365 суток значения приведенной ледовитости (площади морского льда) Арктики, Антарктики и Земли в целом с 26.10.1978 по 29.11.2020 на основе SSMR-SSM/I-SSMIS

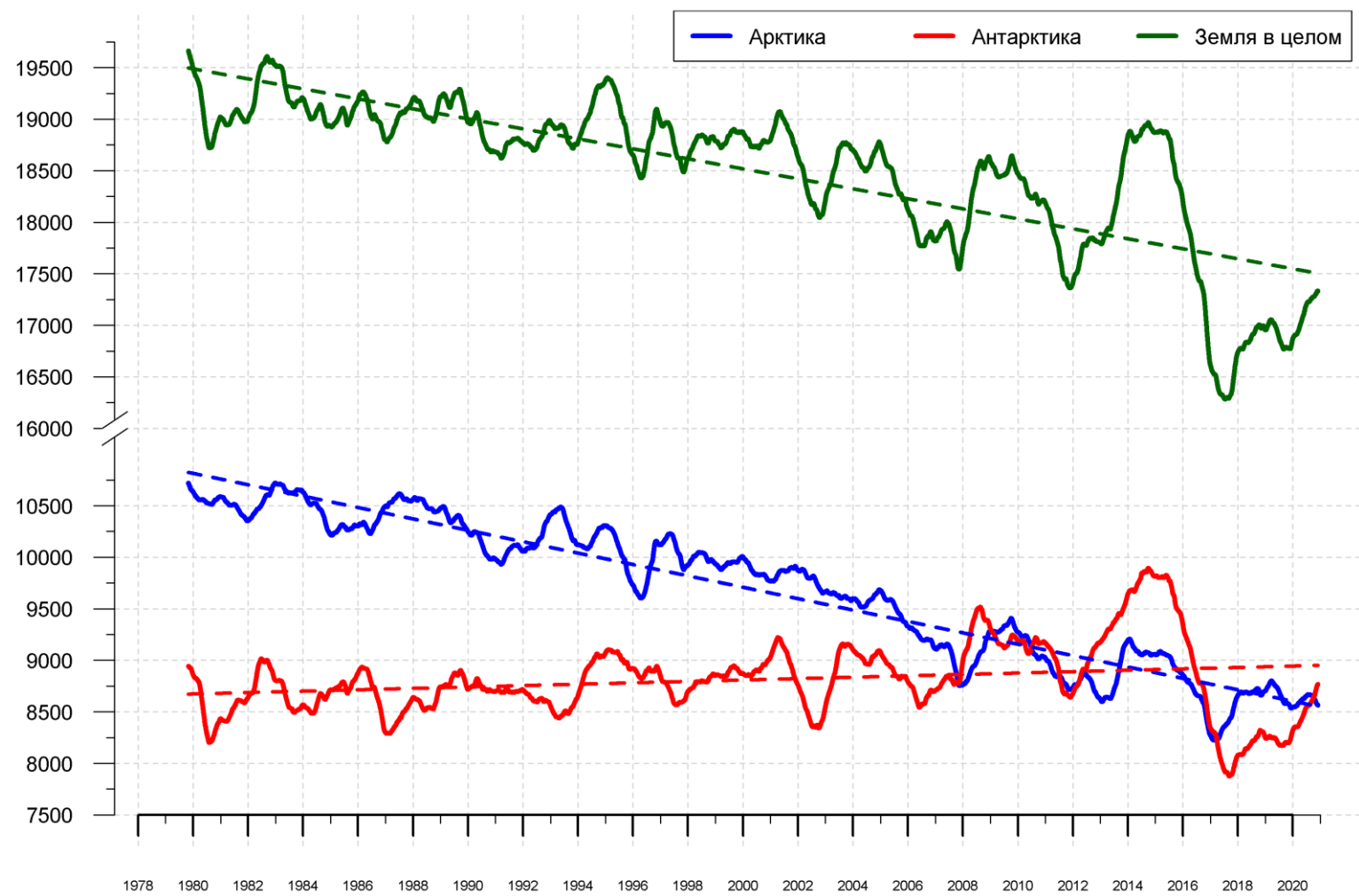


Рисунок 10 – Ежедневные сглаженные окном 365 суток значения ледовитости (площади распространения морского льда) Арктики, Антарктики и Земли в целом с 26.10.1978 по 29.11.2020 на основе SSMR-SSM/I-SSMIS

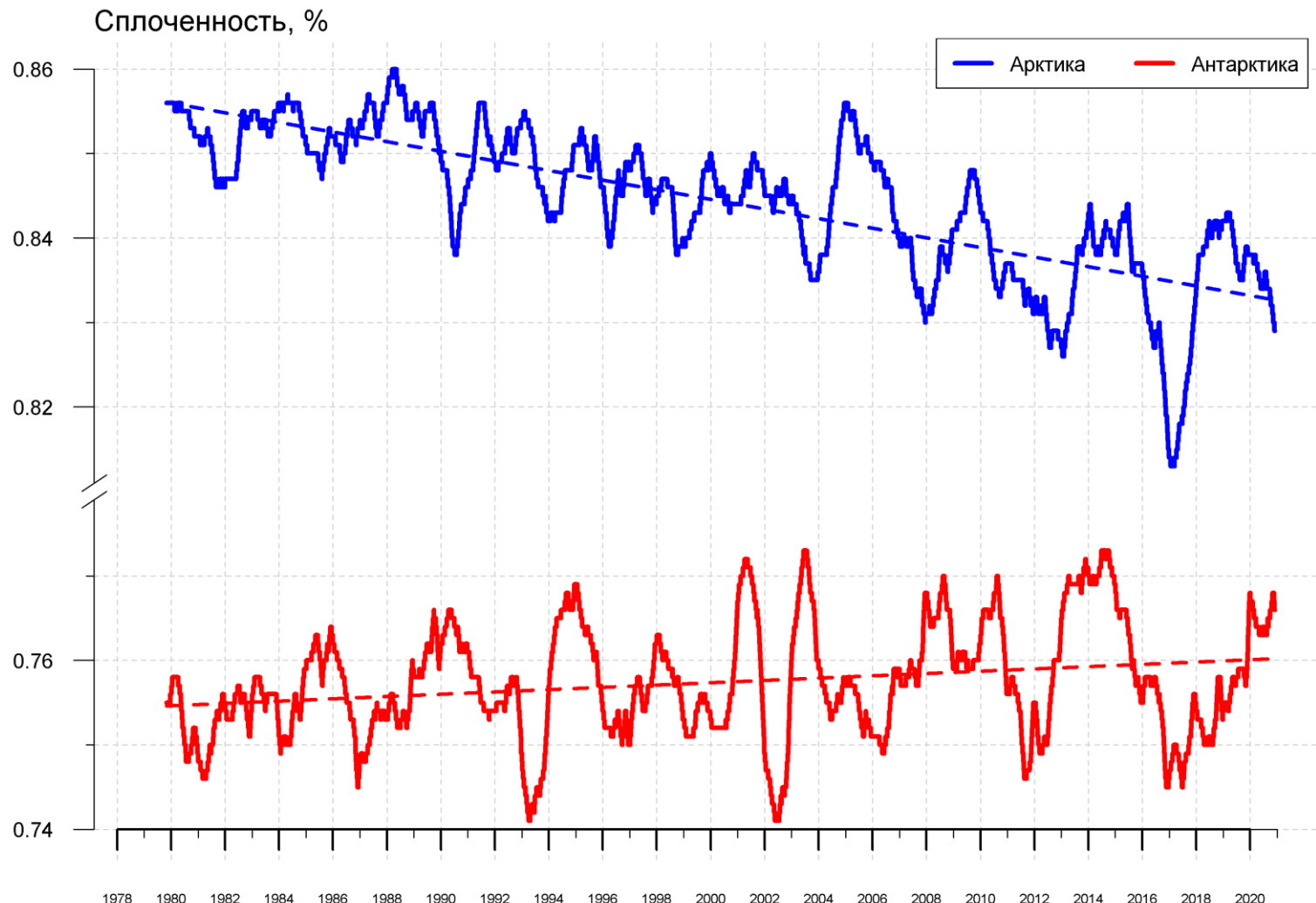


Рисунок 11 – Ежедневные сглаженные окном 365 суток значения средней общей сплоченности Арктики и Антарктики с 26.10.1978 по 29.11.2020 на основе SSMR-SSM/I-SSMIS

Приложение 1 – Статистические значения ледовитостей по отдельным акваториям Северной Полярной Области и Южного океана

Таблица 8 – Средние, аномалии среднего и экстремальные значения ледовитостей для Северной полярной области и её отдельных акваторий за текущие 7-дневный (неделя) и 30-дневный промежутки времени по данным наблюдений SSMR-SSM/I-SSMIS, алгоритм NASATEAM за период 1978-2020 гг.

23-29.11

Регион	S, тыс. км2	Аномалии, тыс км2/%							1978-2020гг			
		2007 г	2012 г	2016 г	2018 г	2019 г	2010- 2020гг	1978- 2020гг	Минимум дата	Максимум дата	Среднее	Медиана
Сев. полярная область	10058.0	-546.4	-259.8	710.3	-692.3	-116.7	-303.5	-1230.3	8991.8 23.11.2016	12814.0 29.11.1978	11288.3	11260.0
		-5.2	-2.5	7.6	-6.4	-1.1	-2.9	-10.9				
Сектор 45°W- 95°E	1984.7	-515.1	-103.1	321.7	-415.4	-761.5	-400.3	-849.4	1463.9 23.11.2016	3649.1 28.11.1988	2834.1	2893.5
		-20.6	-4.9	19.3	-17.3	-27.7	-16.8	-30.0				
Гренландское море	608.4	-47.7	63.7	162.7	81.1	27.1	58.8	-16.7	416.7 23.11.2017	926.4 28.11.1988	625.1	606.8
		-7.3	11.7	36.5	15.4	4.7	10.7	-2.7				
Баренцево море	57.8	-97.5	-54.6	3.8	-117.3	-294.8	-154.7	-370.6	21.1 23.11.2016	798.9 27.11.1978	428.5	473.1
		-62.8	-48.6	7.0	-67.0	-83.6	-72.8	-86.5				
Карское море	368.6	-338.3	-57.5	105.5	-378.0	-410.6	-258.9	-380.1	161.0 23.11.2016	839.2 23.11.1980	748.7	792.0
		-47.9	-13.5	40.1	-50.6	-52.7	-41.3	-50.8				
Сектор 95°E- 170°W	3205.6	-62.4	-260.3	-132.4	-94.3	-92.8	-125.3	-256.9	3159.4 28.11.2020	3753.5 29.11.1979	3462.5	3477.2
		-1.9	-7.5	-4.0	-2.9	-2.8	-3.8	-7.4				
Море Лаптевых	674.3	0.0	0.0	0.1	0.0	0.0	0.0	0.0	673.6 23.11.2016	674.3 23.11.1978	674.3	674.3
		0.0	0.0	0.0	0.0	0.0	0.0	0.0				
Восточно- Сибирское море	904.9	-7.3	-10.2	-10.2	-10.2	-10.1	-5.4	-8.9	883.7 28.11.2020	915.1 23.11.1978	913.8	915.1
		-0.8	-1.1	-1.1	-1.1	-1.1	-0.6	-1.0				
Чукотское море	179.0	-133.8	-418.3	-125.9	-151.4	-2.2	-166.3	-304.8	123.5 23.11.2017	597.3 23.11.1980	483.9	553.4
		-42.8	-70.0	-41.3	-45.8	-1.2	-48.2	-63.0				
Берингово море	32.0	-46.0	-180.2	-30.9	6.2	-41.5	-49.2	-117.4	7.7 23.11.2018	376.7 25.11.1994	149.4	129.6
		-59.0	-84.9	-49.1	24.1	-56.4	-60.6	-78.6				
Сектор 170°W- 45°W	4867.7	31.2	103.7	520.9	-182.6	737.6	222.1	-124.0	4057.1 25.11.2010	5963.7 27.11.1986	4991.7	4971.3
		0.6	2.2	12.0	-3.6	17.9	4.8	-2.5				
Море Бофорта	486.6	7.3	0.0	0.0	0.0	0.5	0.1	0.2	459.0 27.11.2007	486.6 23.11.1978	486.4	486.6
		1.5	0.0	0.0	0.0	0.1	0.0	0.0				
Гудзонов залив	504.7	190.3	278.9	437.1	-44.4	315.5	203.2	117.6	38.2 26.11.2010	839.0 23.11.1986	387.1	353.7
		60.5	123.5	647.2	-8.1	166.8	67.4	30.4				
Море Лабрадор	3.6	-3.2	1.2	-1.3	0.8	1.6	0.2	-7.0	0.0 24.11.2011	62.2 23.11.1986	10.7	7.0
		-46.6	49.7	-26.5	29.7	79.4	6.2	-66.1				
Дейвисов пролив	72.5	-139.5	-71.1	-81.7	-171.5	35.4	-74.8	-139.2	22.8 25.11.2019	419.3 29.11.1983	211.7	220.0
		-65.8	-49.5	-53.0	-70.3	95.6	-50.8	-65.8				
Канадский архипелаг	1002.1	-46.0	-7.1	29.7	-70.1	77.1	5.0	-44.5	843.6 25.11.2010	1190.1 23.11.1978	1046.6	1029.3
		-4.4	-0.7	3.1	-6.5	8.3	0.5	-4.3				

30.10-29.11

Регион	S, тыс. км ²	Аномалии, тыс км ² /%							1978-2020гг			
		2007 г	2012 г	2016 г	2018 г	2019 г	2010- 2020гг	1978- 2020гг	Минимум дата	Максимум дата	Среднее	Медиана
Сев. полярная область	8923.0	-808.8	-237.7	505.7	-736.5	-262.4	-498.2	-1514.7	6726.9 30.10.2020	12814.0 29.11.1978	10435.7	10457.4
		-8.3	-2.6	6.0	-7.6	-2.9	-5.3	-14.5				
Сектор 45°W- 95°E	1795.3	-545.3	5.9	237.0	-212.5	-660.6	-333.2	-830.1	1404.0 30.10.2016	3649.1 28.11.1988	2624.7	2684.5
		-23.3	0.3	15.2	-10.6	-26.9	-15.7	-31.6				
Гренландское море	534.2	-61.2	-6.9	119.4	90.0	0.4	38.1	-30.6	327.2 30.10.2017	926.4 28.11.1988	564.7	559.2
		-10.3	-1.3	28.8	20.2	0.1	7.7	-5.4				
Баренцево море	24.6	-116.0	-16.0	-16.3	-61.3	-222.6	-114.8	-329.5	0.0 30.10.2012	798.9 27.11.1978	353.8	371.2
		-82.5	-39.3	-39.9	-71.3	-90.0	-82.3	-93.0				
Карское море	339.0	-286.1	58.7	160.6	-216.1	-309.1	-180.3	-348.6	23.7 30.10.2016	839.2 30.10.1998	687.4	727.5
		-45.8	20.9	90.0	-38.9	-47.7	-34.7	-50.7				
Сектор 95°E- 170°W	2898.0	-200.5	-484.9	-143.3	-291.8	-237.6	-287.1	-452.4	1589.7 30.10.2020	3753.5 29.11.1979	3350.3	3369.0
		-6.5	-14.3	-4.7	-9.1	-7.6	-9.0	-13.5				
Море Лаптевых	570.3	-104.0	-104.0	-96.2	-89.2	-90.7	-91.2	-100.7	133.0 30.10.2020	674.3 30.10.1979	671.0	674.3
		-15.4	-15.4	-14.4	-13.5	-13.7	-13.8	-15.0				
Восточно- Сибирское море	753.4	-88.8	-161.5	-7.2	-136.7	-122.8	-110.0	-146.0	159.9 30.10.2020	915.1 30.10.1979	899.4	915.1
		-10.5	-17.7	-0.9	-15.4	-14.0	-12.7	-16.2				
Чукотское море	126.3	-50.2	-340.4	-51.7	-59.6	39.1	-107.3	-249.1	16.1 30.10.2007	597.3 03.11.1983	375.2	387.5
		-28.5	-72.9	-29.0	-32.1	44.8	-45.9	-66.4				
Берингово море	23.5	-24.1	-84.7	-5.5	7.9	-28.0	-17.7	-61.2	1.8 05.11.2016	376.7 25.11.1994	84.7	65.3
		-50.6	-78.3	-19.1	50.8	-54.3	-43.0	-72.2				
Сектор 170°W- 45°W	4229.7	-63.0	241.2	412.0	-232.2	635.8	122.2	-232.1	2790.9 30.10.2012	5963.7 27.11.1986	4460.6	4440.3
		-1.5	6.0	10.8	-5.2	17.7	3.0	-5.2				
Море Бафпорта	481.0	-1.5	92.9	60.2	-4.6	40.8	23.7	4.5	90.6 30.10.2012	486.6 30.10.1979	476.4	486.6
		-0.3	23.9	14.3	-1.0	9.3	5.2	1.0				
Гудзонов залив	181.5	54.4	92.0	146.2	-59.8	87.1	57.5	-4.8	5.4 11.11.1994	839.0 23.11.1986	185.9	106.2
		42.8	102.8	413.7	-24.8	92.3	46.4	-2.6				
Море Лабрадор	2.3	-4.8	0.2	0.1	-0.6	-0.2	-0.8	-7.9	0.0 30.10.2011	62.2 23.11.1986	10.2	7.9
		-67.7	11.6	4.1	-19.5	-6.3	-26.6	-77.5				
Дейвисов пролив	25.9	-89.2	-25.3	-27.9	-147.0	8.5	-54.1	-101.4	3.6 01.11.2003	419.3 29.11.1983	127.1	114.2
		-77.5	-49.4	-51.9	-85.0	48.4	-67.6	-79.6				
Канадский архипелаг	908.0	-56.8	30.9	7.1	-88.1	80.9	-8.5	-63.3	584.7 30.10.2006	1190.1 17.11.1986	971.1	990.0
		-5.9	3.5	0.8	-8.8	9.8	-0.9	-6.5				

Таблица 9 – Средние, аномалии среднего и экстремальные значения ледовитостей для Южного океана и его отдельных акваторий за текущие 7-дневный (неделя) и 30-дневный промежутки времени по данным наблюдений SSMR-SSM/I-SSMIS, алгоритм NASATEAM за период 1978-2017 гг.

23-29.11

Регион	S, тыс. км2	Аномалии, тыс км2/%							1978-2020гг			
		2007 г	2012 г	2016 г	2018 г	2019 г	2010- 2020гг	1978- 2020гг	Минимум дата	Максимум дата	Среднее	Медиана
Южный Океан	14935.4	307.0	200.6	2311.1	1195.2	1400.3	497.7	426.3	12073.4	16261.2	14509.1	14574.6
		2.1	1.4	18.3	8.7	10.3	3.4	2.9	29.11.2016	23.11.2010		
Атлантический сектор	6630.0	349.0	410.5	786.5	813.6	522.4	521.7	455.4	4887.5	7043.2	6174.6	6217.2
		5.6	6.6	13.5	14.0	8.6	8.5	7.4	29.11.1990	23.11.2002		
Западная часть моря Уэдделла	2175.0	-95.5	-72.4	202.3	193.3	132.1	98.2	77.4	1529.6	2647.6	2097.5	2096.1
		-4.2	-3.2	10.3	9.8	6.5	4.7	3.7	29.11.2001	23.11.1997		
Восточная часть моря Уэдделла	4455.0	444.6	482.8	584.1	620.3	390.3	423.6	378.0	2756.4	4826.3	4077.0	4091.7
		11.1	12.2	15.1	16.2	9.6	10.5	9.3	29.11.2017	23.11.2002		
Индоокеанский сектор	2586.4	7.9	-130.2	561.1	-130.7	341.2	-147.3	-275.4	1928.7	3786.0	2861.8	2882.0
		0.3	-4.8	27.7	-4.8	15.2	-5.4	-9.6	29.11.2016	23.11.1984		
Море Космонавтов	891.0	-41.9	68.9	340.8	-22.7	22.7	3.8	-44.8	489.2	1390.0	935.8	927.2
		-4.5	8.4	61.9	-2.5	2.6	0.4	-4.8	29.11.1996	23.11.2010		
Море Содружества	788.4	56.9	-155.1	193.5	-31.7	269.7	2.0	-79.1	473.5	1297.0	867.5	873.7
		7.8	-16.4	32.5	-3.9	52.0	0.3	-9.1	29.11.2019	23.11.1984		
Море Моусона	907.1	-7.0	-44.0	27.0	-76.2	48.8	-153.1	-151.5	766.6	1543.0	1058.6	1035.3
		-0.8	-4.6	3.1	-7.8	5.7	-14.4	-14.3	28.11.1991	23.11.1982		
Тихоокеанский сектор	5719.0	-49.9	-79.7	963.5	512.3	536.7	123.2	246.3	4556.6	6392.5	5472.7	5462.9
		-0.9	-1.4	20.3	9.8	10.4	2.2	4.5	29.11.1997	23.11.2013		
Море Росса	5152.4	34.9	357.5	898.8	604.0	750.0	314.3	397.6	3724.5	5696.3	4754.9	4767.3
		0.7	7.5	21.1	13.3	17.0	6.5	8.4	29.11.1979	24.11.1998		
Море Беллинсгаузена	566.5	-84.9	-437.3	64.8	-91.7	-213.4	-191.1	-151.3	346.6	1266.1	717.8	683.6
		-13.0	-43.6	12.9	-13.9	-27.4	-25.2	-21.1	29.11.2008	23.11.1986		

30.10-29.11

Регион	S, тыс. км2	Аномалии, тыс км2/%							1978-2020гг			
		2007 г	2012 г	2016 г	2018 г	2019 г	2010- 2020гг	1978- 2020гг	Минимум дата	Максимум дата	Среднее	Медиана
Южный Океан	16429.7	331.1	21.8	1896.9	1224.7	1338.8	460.9	380.8	12073.4	18330.3	16049.0	16244.3
		2.1	0.1	13.1	8.1	8.9	2.9	2.4	29.11.2016	30.10.2013		
Атлантический сектор	6901.8	323.0	430.3	427.5	674.8	328.6	460.8	361.0	4887.5	7868.1	6541.1	6563.0
		4.9	6.6	6.6	10.8	5.0	7.2	5.5	29.11.1990	30.10.1980		
Западная часть моря Уэдделла	2219.4	-84.2	-42.6	226.6	192.8	94.6	89.0	65.1	1529.6	2707.7	2154.4	2173.6
		-3.7	-1.9	11.4	9.5	4.5	4.2	3.0	29.11.2001	03.11.1980		
Восточная часть моря Уэдделла	4682.4	407.2	472.9	200.9	482.0	233.9	371.8	295.9	2756.4	5423.6	4386.7	4411.2
		9.5	11.2	4.5	11.5	5.3	8.6	6.7	29.11.2017	02.11.1988		

Индоокеанский сектор	3460.0	190.2	-323.0	664.4	63.8	507.8	-99.4	-156.3	1928.7	4845.2	3616.1	3698.1
		5.8	-8.5	23.8	1.9	17.2	-2.8	-4.3	29.11.2016	30.10.1993		
Море Космонавтов	1098.9	62.0	2.2	392.1	-22.7	76.2	7.4	-4.5	489.2	1574.0	1103.6	1117.5
		6.0	0.2	55.5	-2.0	7.5	0.7	-0.4	29.11.1996	31.10.2003		
Море Содружества	1072.0	25.4	-244.2	159.2	-85.5	275.6	-56.1	-96.6	473.5	1688.3	1168.7	1214.4
		2.4	-18.6	17.4	-7.4	34.6	-5.0	-8.3	29.11.2019	30.10.2010		
Море Моусона	1289.1	102.7	-81.0	113.2	171.9	156.0	-50.7	-55.1	766.6	2207.4	1343.8	1324.1
		8.7	-5.9	9.6	15.4	13.8	-3.8	-4.1	28.11.1991	01.11.1978		
Тихоокеанский сектор	6067.8	-182.1	-85.5	804.9	486.1	502.4	99.5	176.0	4556.6	7050.8	5891.8	5881.9
		-2.9	-1.4	15.3	8.7	9.0	1.7	3.0	29.11.1997	30.10.2009		
Море Рассы	5453.2	-99.0	327.4	754.8	566.8	716.2	315.8	367.4	3724.5	6069.9	5086.0	5057.2
		-1.8	6.4	16.1	11.6	15.1	6.1	7.2	29.11.1979	30.10.2007		
Море Беллинсгаузена	614.6	-83.0	-412.9	50.1	-80.7	-213.8	-216.3	-191.4	346.6	1412.3	805.8	778.6
		-11.9	-40.2	8.9	-11.6	-25.8	-26.0	-23.7	29.11.2008	30.10.1994		

Таблица 10 – Динамика изменения значений ледовитости по сравнению с предыдущей неделей для морей Северной полярной области и Южного океана за текущий 7-дневный (неделя) промежуток времени по данным наблюдений SSMIS

23-29.11				
Регион	Сев. полярная область	Сектор 45°W-95°E	Гренландское море	Баренцево море
Разность	632.4	127.6	40.5	25.5
тыс.кв.км/ сут.	90.3	18.2	5.8	3.6
23-29.11				
Регион	Карское море	Сектор 95°E-170°W	Море Лаптевых	Восточно-Сибирское море
Разность	35.7	-14.3	0.0	-9.8
тыс.кв.км/ сут.	5.1	-2.0	0.0	-1.4
23-29.11				
Регион	Чукотское море	Берингово море	Сектор 170°W-45°W	Море Бофорта
Разность	22.6	9.8	519.0	0.4
тыс.кв.км/ сут.	3.2	1.4	74.1	0.1
23-29.11				
Регион	Гудзонов залив	Море Лабрадор	Дейвисов пролив	Канадский архипелаг
Разность	285.9	2.8	57.0	67.4
тыс.кв.км/ сут.	40.8	0.4	8.1	9.6
23-29.11				
Регион	Южный Океан	Атлантический сектор	Западная часть моря Уэдделла	Восточная часть моря Уэдделла
Разность	-1091.9	-172.7	-3.9	-168.8
тыс.кв.км/ сут.	-156.0	-24.7	-0.6	-24.1
23-29.11				
Регион	Индоокеанский сектор	Море Космонавтов	Море Содружества	Море Моусона
Разность	-533.1	-120.7	-179.0	-233.3
тыс.кв.км/ сут.	-76.2	-17.2	-25.6	-33.3
23-29.11				
Регион	Тихоокеанский сектор	Море Рассы	Море Беллинсгаузена	
Разность	-386.1	-386.1	0.0	
тыс.кв.км/ сут.	-55.2	-55.2	0.0	

Характеристика исходного материала и методика расчетов

Для иллюстрации ледовых условий Арктического региона представлены совмещенные региональные карты ААНИИ [4, 6], Канадской ледовой службы – КЛС [12], Национального ледового центра США – НЛЦ [10], при наличии данных, ГМЦ России [8], НИЦ Планета [9] и ледовой службы Германии. Совмещение карт выполнено путем перекрытия слоев (ААНИИ, слой #1), (ГМЦ России или НИЦ Планета, слой #1), (BSH, слой #1) -> (КЛС, слой #2) -> (обзорная карта НЛЦ, слой #3). Как результат, карты ААНИИ характеризуют ледовые условия морей Гренландского...Бофорта, карты ГМЦ России или НИЦ Планета – Азовского, Каспийского, Берингова, Охотского, Японского, Белого, карты НЛЦ – Северных частей Тихого и Атлантического океанов и Арктического бассейна (при этом полный охват карт НЛЦ – вся акватория СЛО и субполярные моря). карты BSH – Балтийского карты КЛС - морей Бофорта, Канадского архипелага, Баффина, Девисова пролива, Лабрадор, Св. Лаврентия (при этом полный охват карт НЛЦ – вся акватория СЛО и субполярные моря). Для ледовых условий и распределения айсбергов Южного океана использованы данные проекта по интегрированному ледовому анализу Южного океана – циркумполярные карты ААНИИ [5, 7], НЛЦ [10, 11] и карты акватории Антарктического полуострова Норвежского метеорологического института (НМИ) [21]. Для построения совмещенных карт используется архив данных в обменном формате ВМО СИГРИД-3 [18] Мирового центра данных по морскому льду (МЦД МЛ) – проекта ВМО «Глобальный Банк Цифровых Данных по Морскому Льду». В пределах отдельного срока выборка карт из архива проводилась по критериям близости карт к сроку выпуска карты ААНИИ с максимальным интервалом времени между картами до 7 суток (день недели выпуска карт ААНИИ – вторник, ГМЦ России – среда, НИЦ Планета – понедельник, BSH – понедельник, КЛС – понедельник, НЛЦ – четверг для морского льда и пятница – для крупных айсбергов Южного океана, НМИ - понедельник).

Для иллюстрации полей толщин льда СЛО использованы ежедневные данные по распределению средневзвешенной толщины льда численной модели HYCOM-CICE Датского метеорологического института (ДМИ) [20]. Численная модель HYCOM-CICE имеет разрешение 10x10 км и является совместной моделью морского льда – океана. Портал полярных данных ДМИ [22] используется также как источник данных по оценке объема льда СЛО, температуры поверхности океана/морского льда, аномалий температуры воздуха и поля приземного ветра.

Для иллюстрации ледовых условий Северной Полярной области и Южного океана за последние сутки используются ежедневные циркумполярные ледовые информационные продукты НЛЦ США по оценке расположения кромки льда и ледяных массивов - MIZ (Marginal Ice Zone).

Для цветовой окраски карт использован стандарт ВМО (WMO/Td. 1215) [19] для зимнего (по возрасту) и летнего (по общей сплошности) периодов. Следует также отметить, что в зонах стыковки карт ААНИИ, КЛС и НЛЦ наблюдается определенная несогласованность границ и характеристик ледовых зон вследствие ряда различий в ледовых информационных системах подготавливающих служб. Однако, данная несогласованность несущественна для целей интерпретации ледовых условий в рамках настоящего обзора.

Для получения оценок ледовитости (extent) и приведенной ледовитости – площади льда (area) отдельных секторов, морей, частей морей Северной полярной области и Южного океана и климатического положения кромок заданной повторяемости на основе данных спутниковых систем пассивного микроволнового зондирования SSMR-SSM/I-SSMIS [17] в МЦД МЛ ААНИИ принята следующая технология расчетов:

- источник данных – архивные (Cavalieri et al., 2008, Meier et al., 2006) и квазиоперативные (Maslanik and Stroeve, 1999) с задержкой 1-2 дня ежедневные матрицы (поля распределения) оценок общей сплошности Северной (севернее 45° с.ш.) и Южной (южнее 50° с.ш.) Полярных областей на основе обработанных по алгоритму NASATEAM данных многоканальных микроволновых радиометров SSMR-SSM/I-SSMIS ИСЗ

NIMBUS-7 и DMSP за период с 26.10.1978 г. по настоящий момент времени [13, 14, 15], копируемые с сервера НЦДСЛ;

- область расчета – Северная и Южная Полярные области и их регионы с использованием масок океан/суша НЦДСЛ (http://nsidc.org/data/polar_stereo/tools_masks.html);
- границы используемых масок расчета отдельных меридиональных секторов, морей, частей морей Северной полярной области и Южного океана представлены на рисунках П1 – П6, не совпадают с используемыми в НЦДСЛ масками для отдельных акваторий Мирового океана и основаны на номенклатуре ААНИИ для морей Евразийского шельфа (Гренландское - Чукотское), Атласе Северного ледовитого океана (1980) и Атласе океанов (1980) издательства ГУНИО МО [1, 2, 3].
- вычислительные особенности расчета – авторское программное обеспечение ААНИИ с сохранением точности расчетов и оценке статистических параметров по гистограмме распределения и свободно-распространяемое программное обеспечение GDAL для векторизации полей климатических параметров;

В графическом формате PNG совмещенные карты ААНИИ-КЛС-НЛЦ доступны по адресу <http://wdc.aari.ru/datasets/d0040>.

Результаты расчетов ледовитости Северной, Южной полярных областей, их отдельных меридиональных секторов, морей и частей морей доступны на сервере МЦД МЛ ААНИИ в каталогах соответственно <http://wdc.aari.ru/datasets/ssmi/data/north/extent/> и <http://wdc.aari.ru/datasets/ssmi/data/south/extent/>.

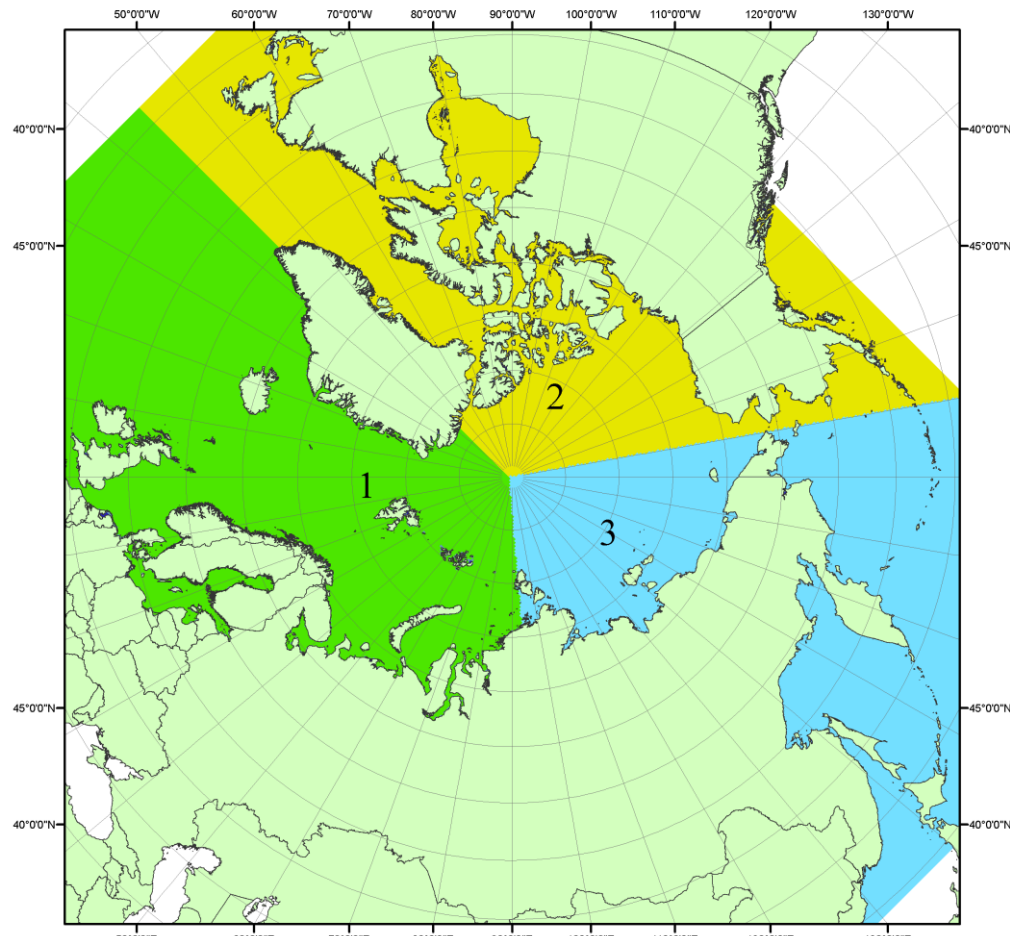


Рисунок П1 – Секторальное деление северной полярной области. 1 - Сектор 45°W-95°E (Гренландское - Карское моря); 2 - Сектор 170°W-45°W (море Бофорта и Канадская Арктика); 3 - Сектор 95°E-170°W (моря Лаптевых - Чукотское, Берингово, Охотское, Японское)

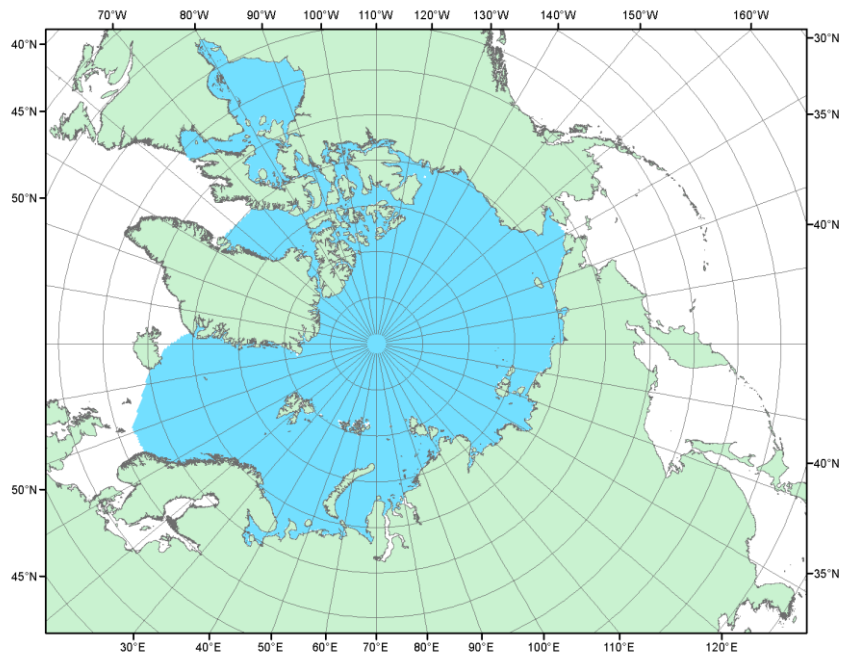


Рисунок П2 – Северный ледовитый океан в официальных границах

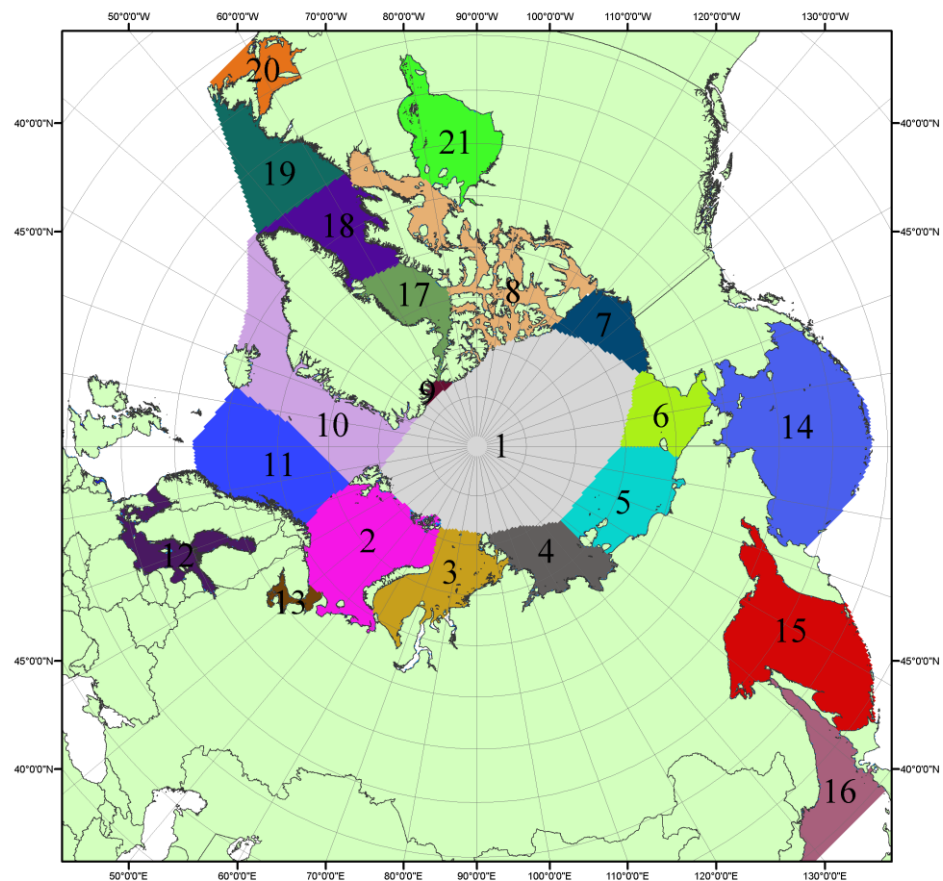


Рисунок П3 – Моря северной полярной области. 1 – Арктический бассейн; 2- Баренцево море; 3 – Карское море; 4 – море Лаптевых; 5 - Восточно-Сибирское море; 6 – Чукотское море; 7 – море Бофорта; 8 – Канадский архипелаг; 9 – море Линкольна; 10 – Гренландское море; 11 – Норвежское море; 12 – Балтийское море; 13 – Белое море; 14 – Берингово море; 15 – Охотское море; 16 – Японское море; 17 – море Баффина; 18 – Дейвисов пролив; 19 – море Лабрадор; 20 – залив Святого Лаврентия; 21 – Гудзонов залив.

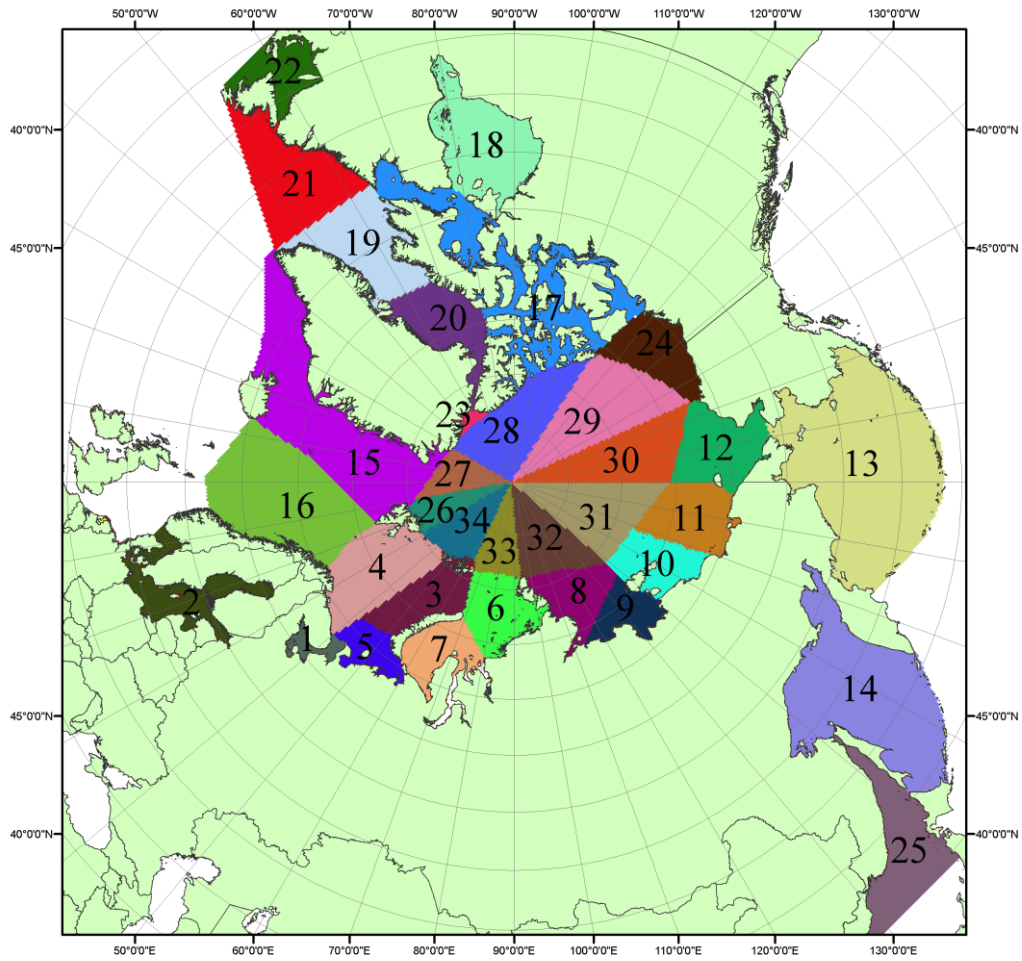


Рисунок П4 – Сектора и моря северной полярной области. 1 - Белое море; 2- Балтийское море; 3 – Баренцево море (СВ); 4 – Баренцево море (З); 5 - Баренцево море (ЮВ); 6 – Карское море (СВ); 7 – Карское море (ЮЗ); 8 – море Лаптевых (В); 9 – море Лаптевых (З); 10 – Восточно-Сибирское море (З); 11 – Восточно-Сибирское море (В); 12 –Чукотское море; 13 – Берингово море; 14 – Охотское море; 15 –Гренландское море; 16 – Норвежское море; 17 – Канадский архипелаг; 18 – Гудзонов залив; 19 – Дейвисов пролив; 20 - море Баффина; 21 – море Лабрадор; 22 - залив Святого Лаврентия; 23 - море Линкольна; 24 - море Бофорта; 25 - Японское море; 26 - сектор АО (30° з.д. – 10° в.д.); 27 – сектор АО (10° в.д. – 30° в.д.); 28 - сектор АО (30° в.д. – 65° в.д.); 29 - сектор АО (65° в.д. – 96° в.д.); 30 - сектор АО (96° в.д. – 140° в.д.); 31 - сектор АО (140° в.д. – 180° в.д.); 32 - сектор АО (180° в.д. – 156° з.д.); 33 - сектор АО (156° з.д. – 123° з.д.); 34 - сектор АО (123° з.д. – 30° з.д.).

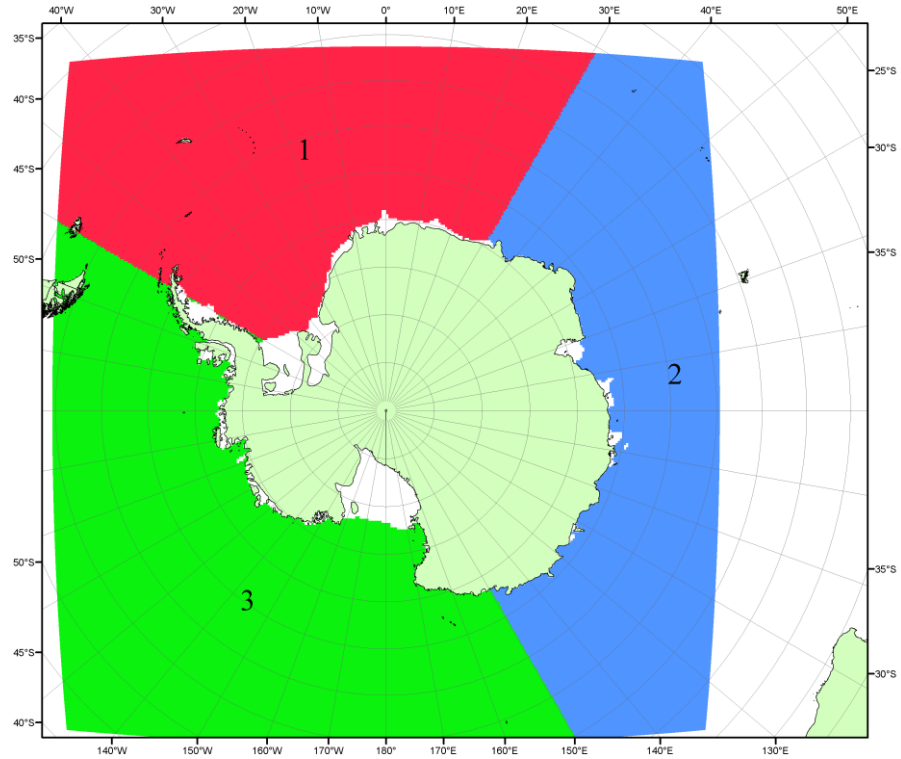


Рисунок П5 – Секторальное деление Южного океана. 1 - Атлантический сектор (60°W - 30°E , море Уэдделла); 2 - Индоокеанский сектор (30°E - 150°E , моря Космонавтов, Содружества, Моусона); 3 - Тихоокеанский сектор (150°E - 60°W , моря Росса, Беллинсгаузена)

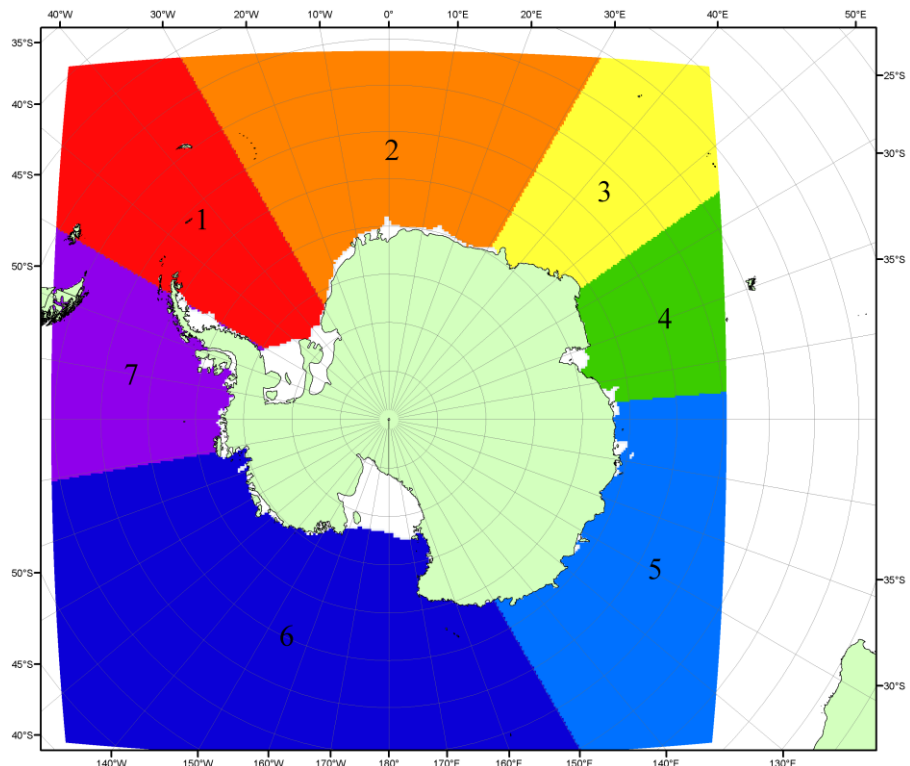


Рисунок П6 – Моря Южного океана. 1 – Западная часть моря Уэдделла; 2- Восточная часть моря Уэдделла; 3 – Море Космонавтов; 4 – море Содружества; 5 – море Моусона; 6 – море Росса; 7 – Море Беллинсгаузена.

Список источников

1. Атлас океанов. Северный Ледовитый океан. – 1980. М: Изд. ГУНИО МО СССР ВМФ – 184 с.
2. Атлас океанов. Термины. Понятия. Справочные таблицы. - Изд. ВМФ МО СССР.-1980.
3. Границы океанов и морей. – 1960. Л.: Изд. ГУНИО ВМФ. – 51 с.
4. Обзорные ледовые карты ФГБУ «ААНИИ» Северного Ледовитого океана за 2008-2018 гг. в обменном формате ВМО СИГРИД-3 // Мировой центр данных по морскому льду - Глобальный банк данных по морскому льду – <http://wdc.aari.ru/datasets/d0015>.
5. Комплексные ледовые карты ФГБУ «ААНИИ» Южного океана за 2014-2018 гг. в обменном формате ВМО СИГРИД-3 // Мировой центр данных по морскому льду - Глобальный банк данных по морскому льду – <http://wdc.aari.ru/datasets/d0015>.
6. Комплексные ледовые карты ФГБУ «ААНИИ» арктических и замерзающих морей России за 1997-2018 гг. в обменном формате ВМО СИГРИД-3 // Мировой центр данных по морскому льду - Глобальный банк данных по морскому льду – <http://wdc.aari.ru/datasets/d0004>.
7. Карты ФГБУ «ААНИИ» анализа крупных айсбергов Южного океана за 2014-2018 гг. в обменном формате ВМО СИГРИД-3 // Мировой центр данных по морскому льду - Глобальный банк данных по морскому льду – <http://wdc.aari.ru/datasets/d0015>.
8. Комплексные ледовые карты ФГБУ «Гидрометцентр России» Азовского, Каспийского и Белого морей за 2000-2017 гг. в обменном формате ВМО СИГРИД-3 // Мировой центр данных по морскому льду - Глобальный банк данных по морскому льду – <http://wdc.aari.ru/datasets/d0033>.
9. Комплексные ледовые карты ФГБУ «НИЦ Планета» Азовского, Каспийского, Берингова, Охотского и Японского морей за 2016-2018 гг. в обменном формате ВМО СИГРИД-3 // Мировой центр данных по морскому льду - Глобальный банк данных по морскому льду – <http://wdc.aari.ru/datasets/d0034>.
10. Комплексные ледовые карты Северной полярной области и Южного океана Национального ледового центра США за 2003-2018 гг. в обменном формате ВМО СИГРИД-3 // Мировой центр данных по морскому льду - Глобальный банк данных по морскому льду – <http://wdc.aari.ru/datasets/d0032>.
11. Карты анализа крупных айсбергов Южного океана Национального ледового центра США за 2014-2018 гг. в обменном формате ВМО СИГРИД-3 // Мировой центр данных по морскому льду - Глобальный банк данных по морскому льду – <http://wdc.aari.ru/datasets/d0032>.
12. Комплексные ледовые карты Канадской Арктики Канадской ледовой службы за 2006-2018 гг. в обменном формате ВМО СИГРИД-3 // Мировой центр данных по морскому льду - Глобальный банк данных по морскому льду – <http://wdc.aari.ru/datasets/d0031>.
13. Cavalieri, D., C. Parkinson, P. Gloersen, and H. J. Zwally. 1996, updated 2008. *Sea Ice Concentrations from Nimbus-7 SMMR and DMSP SSM/I Passive Microwave Data*, [1978.10.26 – 2007.12.31]. Boulder, Colorado USA: National Snow and Ice Data Center. Digital media.
14. Meier, W., F. Fetterer, K. Knowles, M. Savoie, M. J. Brodzik. 2006, updated quarterly. *Sea Ice Concentrations from Nimbus-7 SMMR and DMSP SSM/I Passive Microwave Data*, [2008.01.01 – 2008.03.25]. Boulder, Colorado USA: National Snow and Ice Data Center. Digital media.
15. Maslanik, J., and J. Stroeve. 1999, updated daily. *Near-Real-Time DMSP SSM/I-SSMIS Daily Polar Gridded Sea Ice Concentrations*, [2008.03.26 – present moment]. Boulder, Colorado USA: National Snow and Ice Data Center. Digital media.
16. Andersen, S., R. Tonboe, L. Kaleschke, G. Heygster, and L. T. Pedersen, Intercomparison of passive microwave sea ice concentration retrievals over the high-concentration Arctic sea ice.// *J. Geophys. Res.* – 2007. – Vol. 112. C08004, doi:10.1029/2006JC003543.
17. Статистические характеристики сплошности морского льда Северной полярной области и Южного океана на основе данных наблюдений SSMR-SSM/I-SSMIS, алгоритм NASATEAM // Мировой центр данных по морскому льду - Глобальный банк данных по морскому льду – <http://wdc.aari.ru/datasets/ssmi>.

18. SIGRID-3: A vector archive format for Sea Ice Georeferenced Information and Data - JCOMM Technical Report Series No. 23, 2014, WMO/TD-No.1214.
19. Ice Chart Colour Code Standard. - JCOMM Technical Report Series No. 24, 2004, WMO/TD-No.1215.
[\(http://jcomm.info/index.php?option=com_oe&task=viewDocumentRecord&docID=4914\)](http://jcomm.info/index.php?option=com_oe&task=viewDocumentRecord&docID=4914)
20. Danish Meteorological Institute North Atlantic - Arctic Ocean model HYCOM-CICE - <http://ocean.dmi.dk/models/hycom.uk.php>
21. Портал данных ледового анализа Южного океана Норвежского метеорологического института - <http://polarview.met.no/Antarctic.html>
22. Портал полярных данных Датского метеорологического института - <http://polarportal.dk>